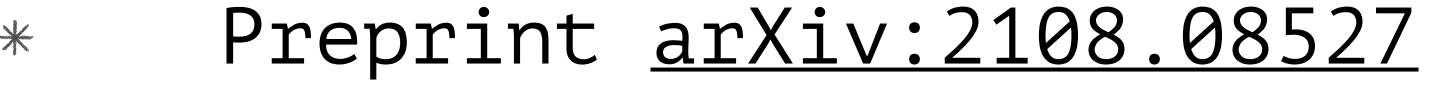


# カムランドにおける 超新星背景ニュートリノの探索

#### 小原脩平 他 KamLAND collaboration

東北大学学際科学フロンティア研究所 東北大学ニュートリノ科学研究センター



\* Accepted for publication in ApJ





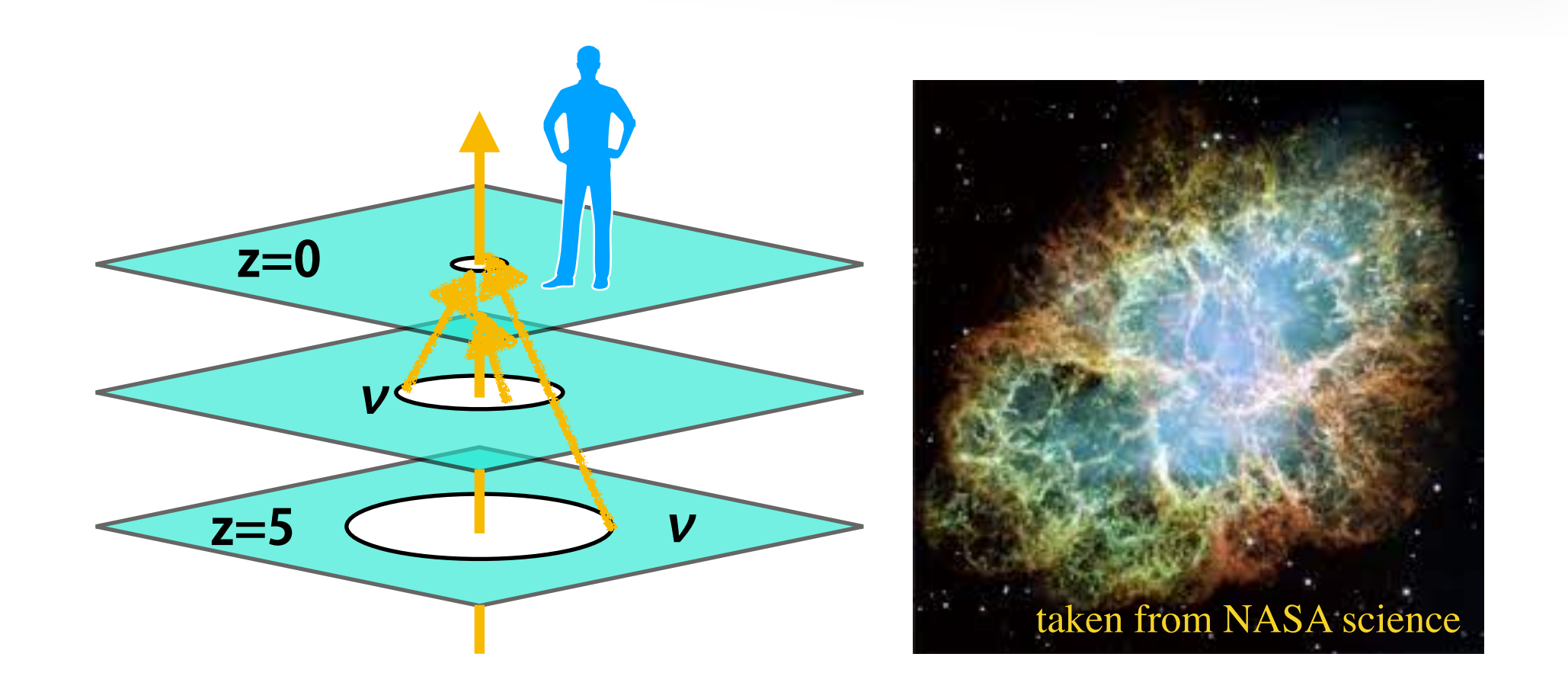


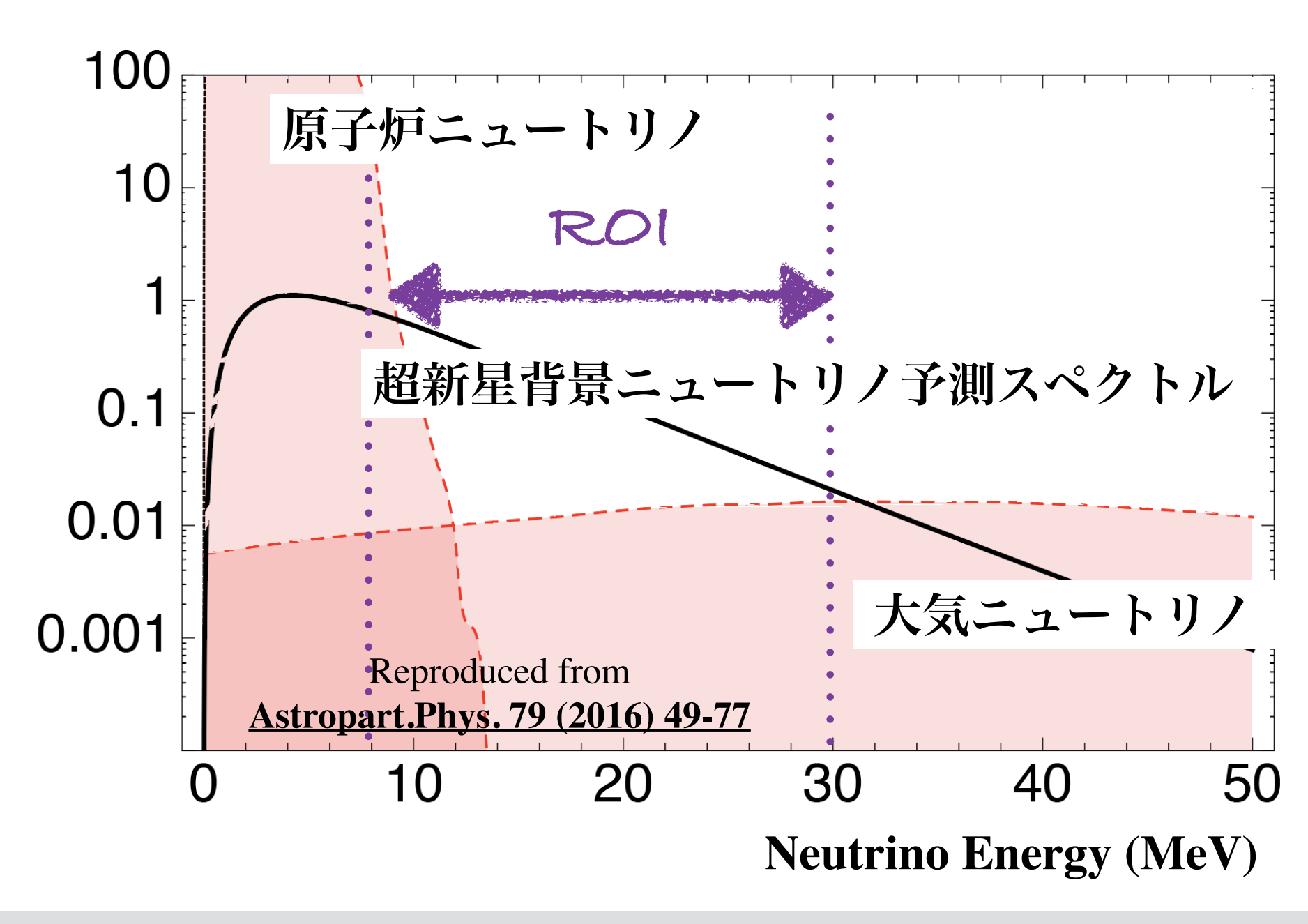


# 物理目的(1)

#### 超新星背景ニュートリノ

- "超新星爆発"は多くのニュートリノを放出する爆発的な天体現象
- 過去におきた超新星爆発から生じたニュートリノが今 も宇宙を漂っている(超新星背景ニュートリノ)
- 平均的な超新星爆発の描像をみることができる
- 反電子ニュートリノ ( $\bar{\nu}_e$ ) 探索を行うにあたって背景事象があるので 10-30MeV辺りが探索領域
  - 低エネルギー側は原子炉ニュートリノ
  - 高エネルギー側は大気ニュートリノ





# 物理目的(2)

#### 太陽反電子ニュートリノ (MSW+RSFP)

ニュートリノ磁気能率と太陽磁場の影響でフレーバー 転換がおこる可能性がある

• 
$$P(\nu_e \to \bar{\nu}_e) \simeq 1.8 \times 10^{-10} \sin^2 2\theta_{12} \times \left[ \frac{\mu}{10^{-12} \mu_B} \frac{B_T(0.05 R_{\odot})}{10 \text{ kG}} \right]^2$$

Akhmedov, E., & Pulido, J. 2003, PhLB, 553, 7

#### 暗黑物質対消滅

● 軽い暗黒物質対消滅から生じるニュートリノペア

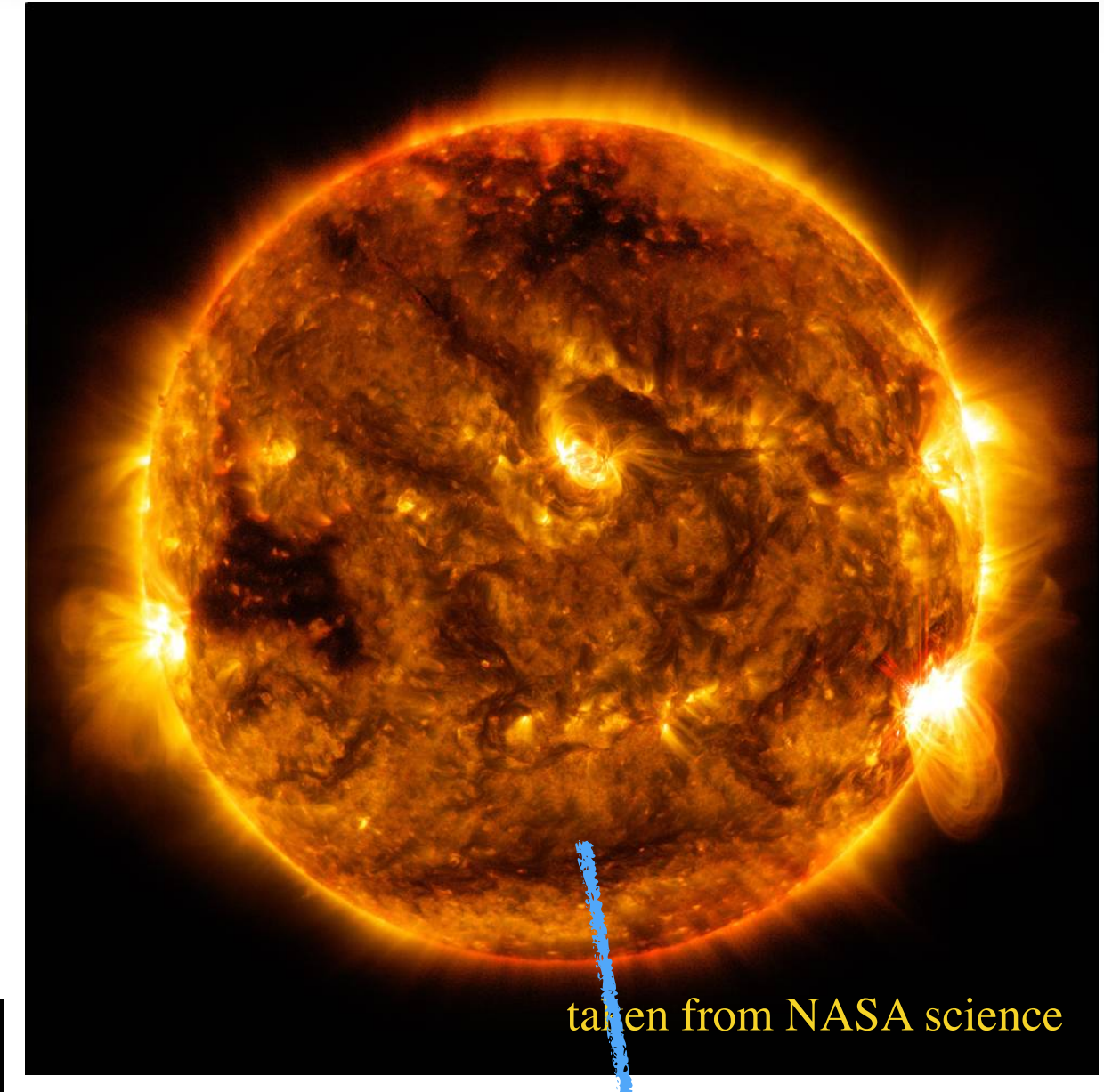
$$\frac{d\phi}{dE_{\nu}} = \frac{\langle \sigma_{A} \mathbf{v} \rangle}{2} J_{\text{ave}} \frac{R_{\text{sc}} \rho_{0}^{2}}{m_{\nu}^{2}} \frac{1}{3} \delta \left( E_{\nu} - m_{\chi} \right),$$

Palomares-Ruiz, S., & Pascoli, S. 2008, PhRvD, 77, 025025

(不活性ニュートリノからの崩壊)

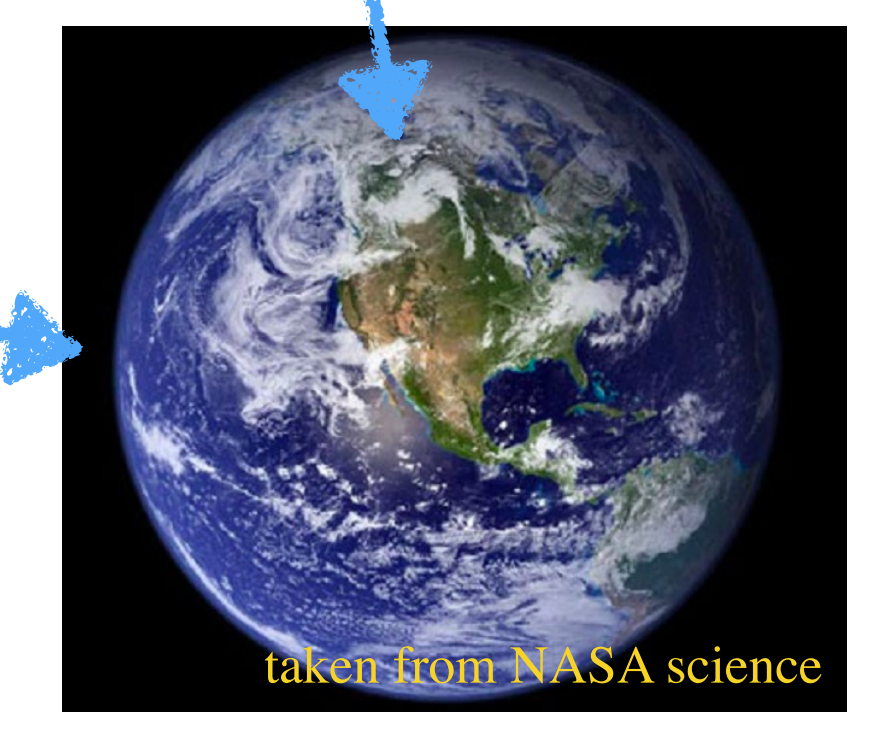
(原始ブラックホールからの輻射)





 $\nu_e^{\rm MSW} \rightarrow \nu_\mu \rightarrow \bar{\nu}_e \ \ {\rm or} \ \nu_e^{\rm RSFP} \rightarrow \bar{\nu}_\mu \rightarrow \bar{\nu}_e$ 

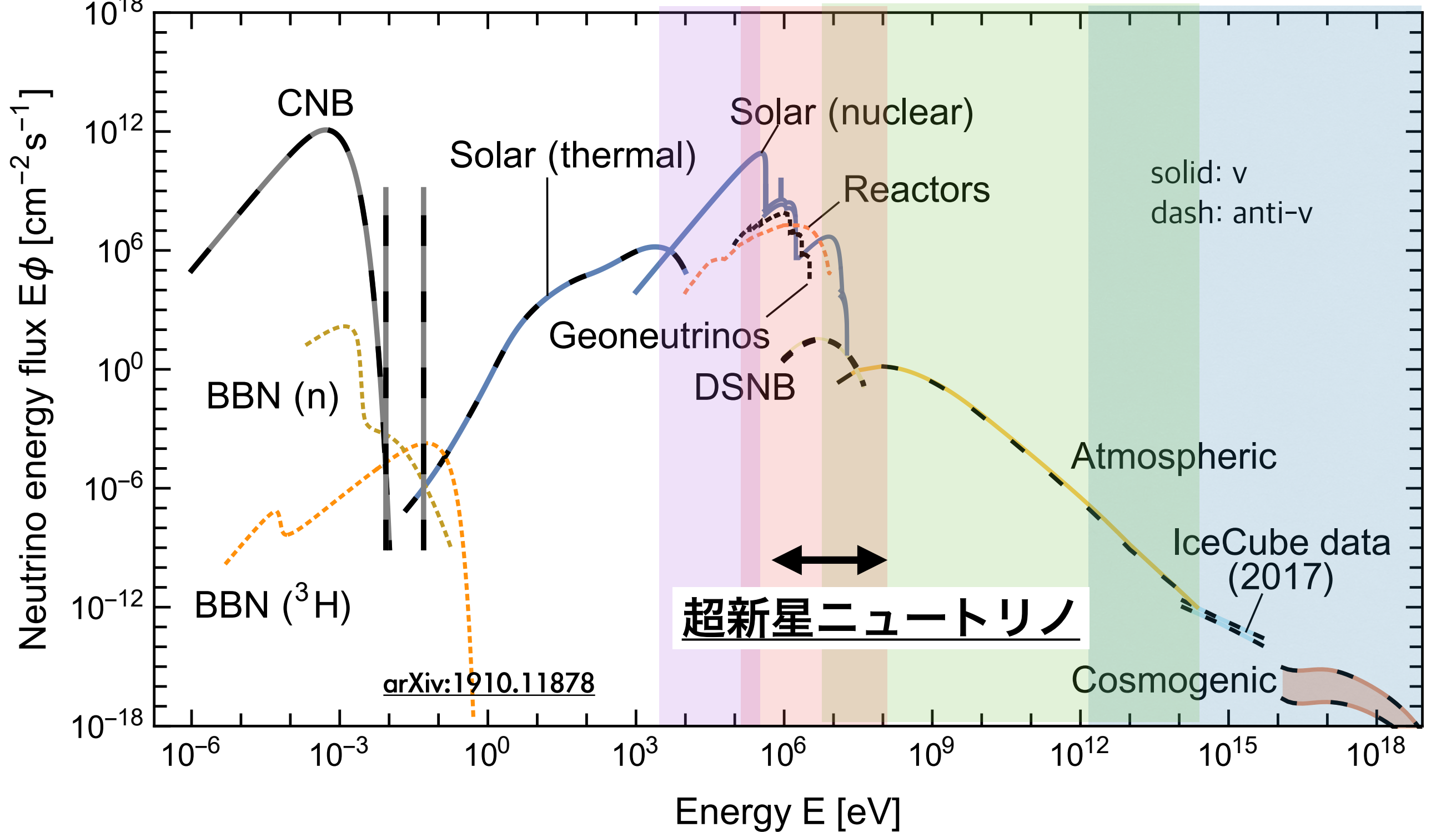
 $\chi\chi \to \nu \bar{\nu}$ 



### 色んなニュートリノ検出器など

#### <u>特徴</u>

- 地下にあって宇宙線由来の背景事象低減
- ・ 主目的の物理で,異なる最適化されたエネルギー領域と検出方法
- (※色塗りは僕の独断と偏見です.メインのエネルギー領域に色塗り)

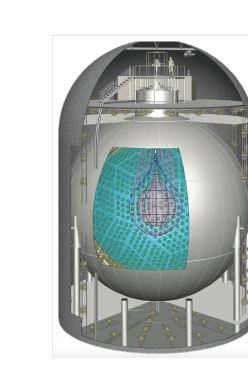


#### XENON-nT



液体キセノンシンチレータ 数 keV 領域 のスペイン

#### KamLAND

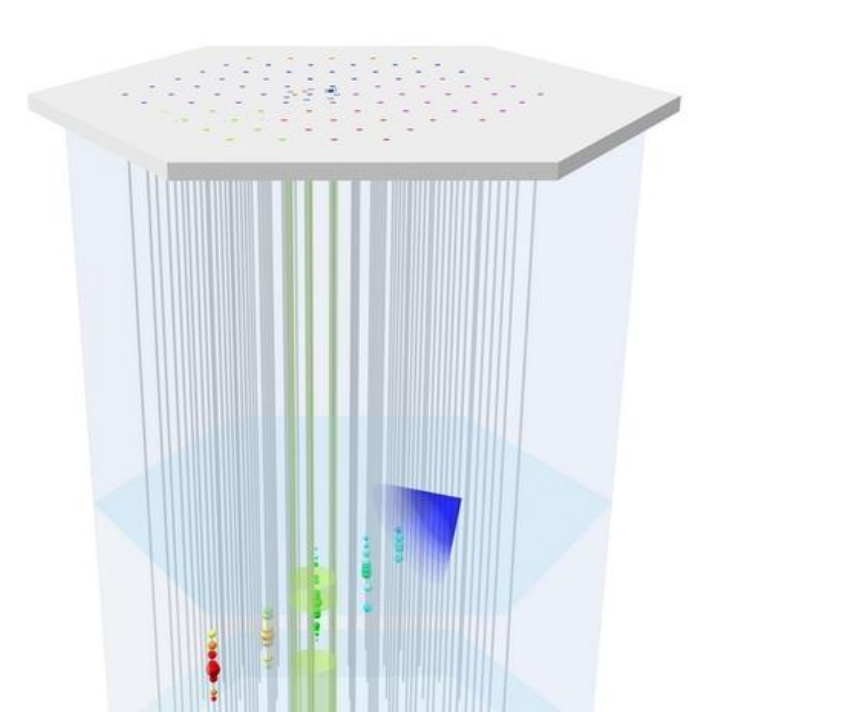


有機液体シンチレータ(油) 300keV ~ 100MeV @神岡

#### Super-Kamiokande



水チェレンコフ @ 神岡 10MeV ~ 100GeV



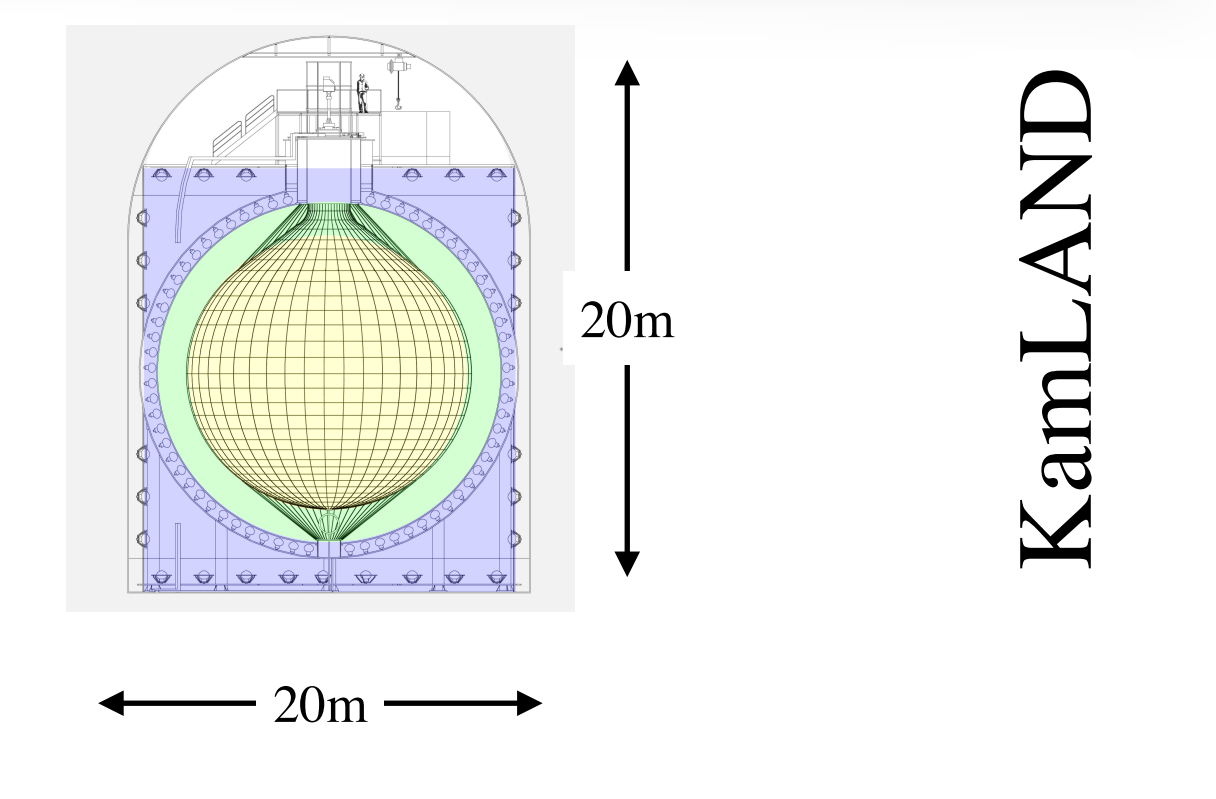
IceCube

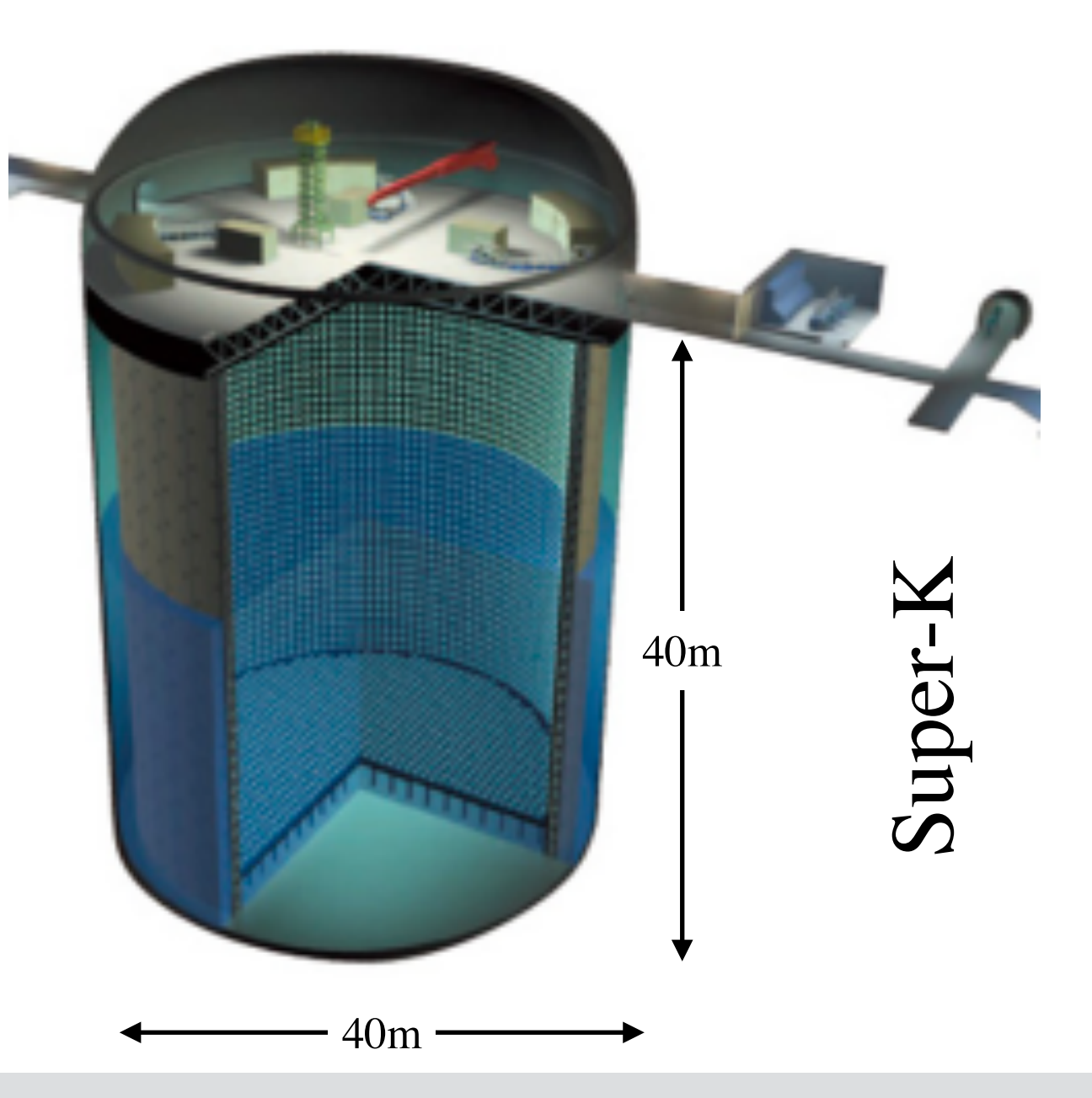
ドチェレンコフ @ 南

TeV 以\_

#### KamLAND / Super-Kamiokande

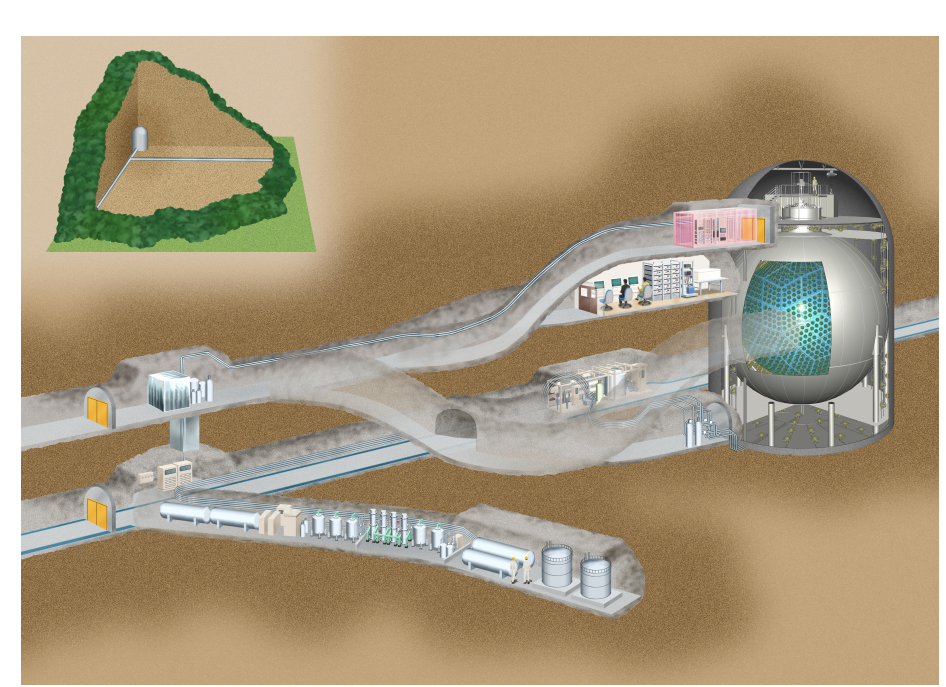
	KamLAND	Super-K	
場所	岐阜県神岡鉱山地下1000m		
大きさ	φ13mの球状 (1kton)	φ40m×L40mの円筒状 (50kton)	
媒質	有機液体シンチレータ (超純油)	水 (超純水)	
検出方法	シンチレーション光 + PMT (2千本)	チェレンコフ光 + PMT (1万本)	
ニュートリノ方向感度	等方発光なので, 到来方向は不明	チェレンコフリングの再 構成で到来方向同定可能	
検出閾値	荷電粒子全てに発光	チェレンコフ閾値	

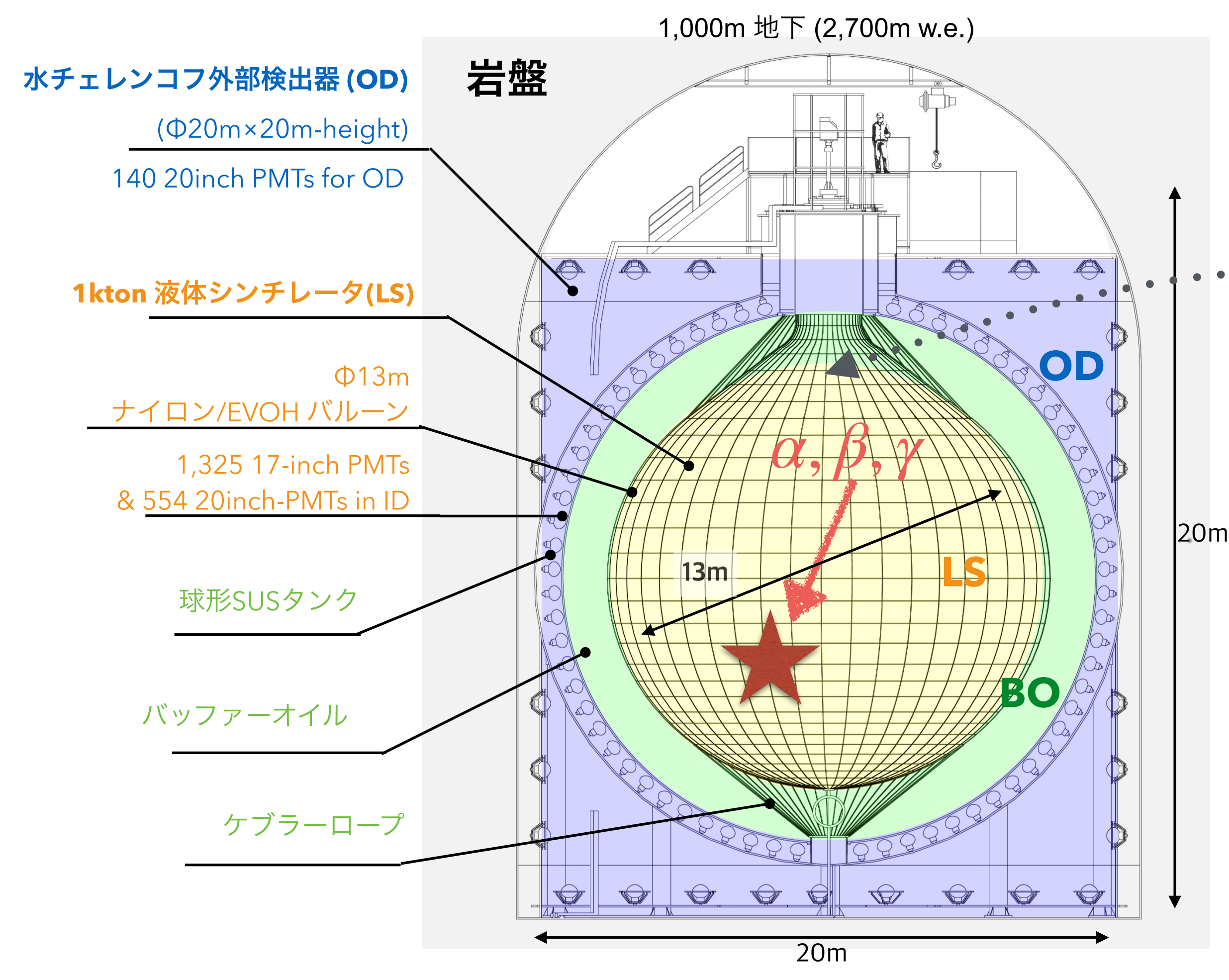




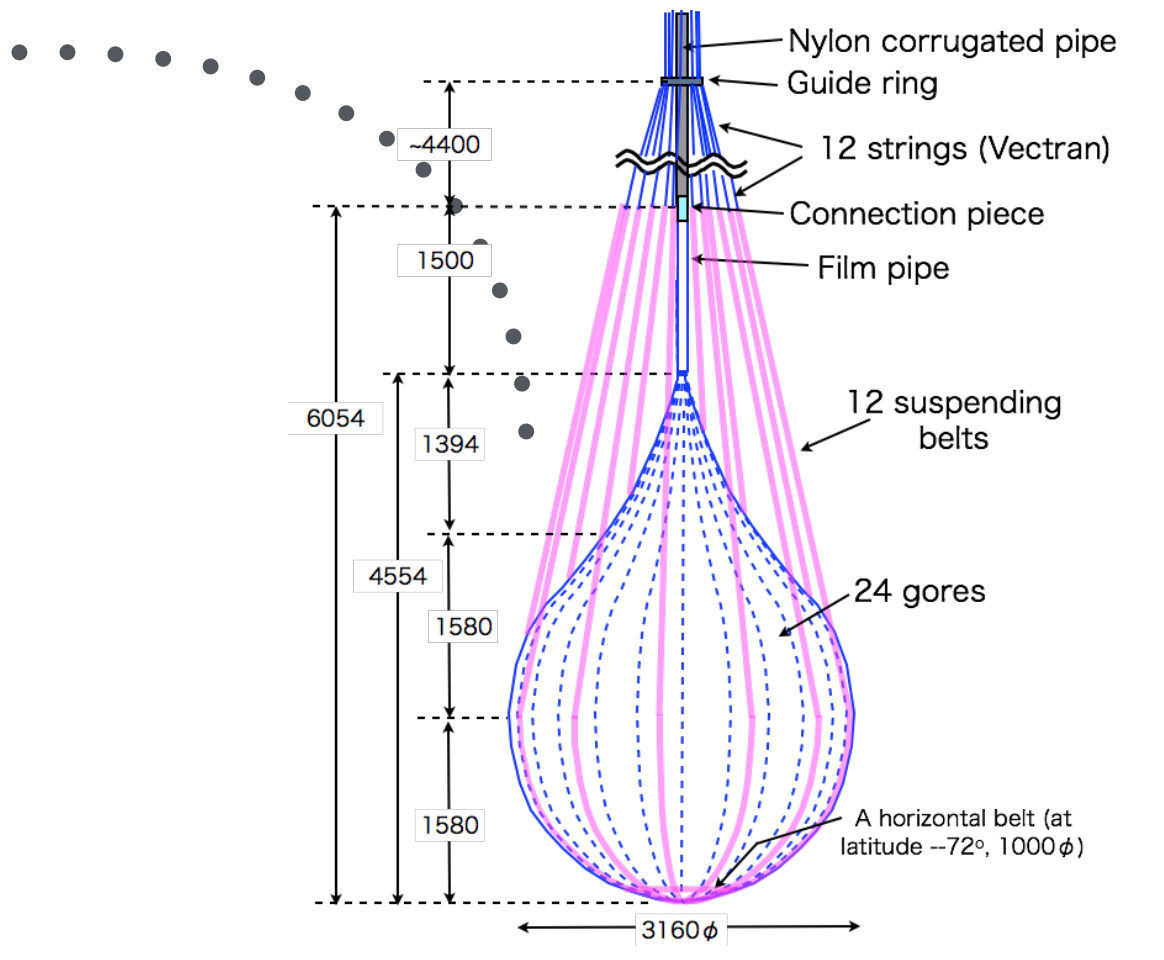
# Kamland Detector Kamioka Liquid-scintillator Anti-Neutrino Detector







- ▶ 1 kt **液体シンチレータ** 検出器
- ▶ 神岡鉱山 池ノ山山頂より 1 km 地下
- ▶ シンチレーション光を約2000本の光電 子増倍管(PMT)で観測
- ヒット時間と電荷量から事象再構成

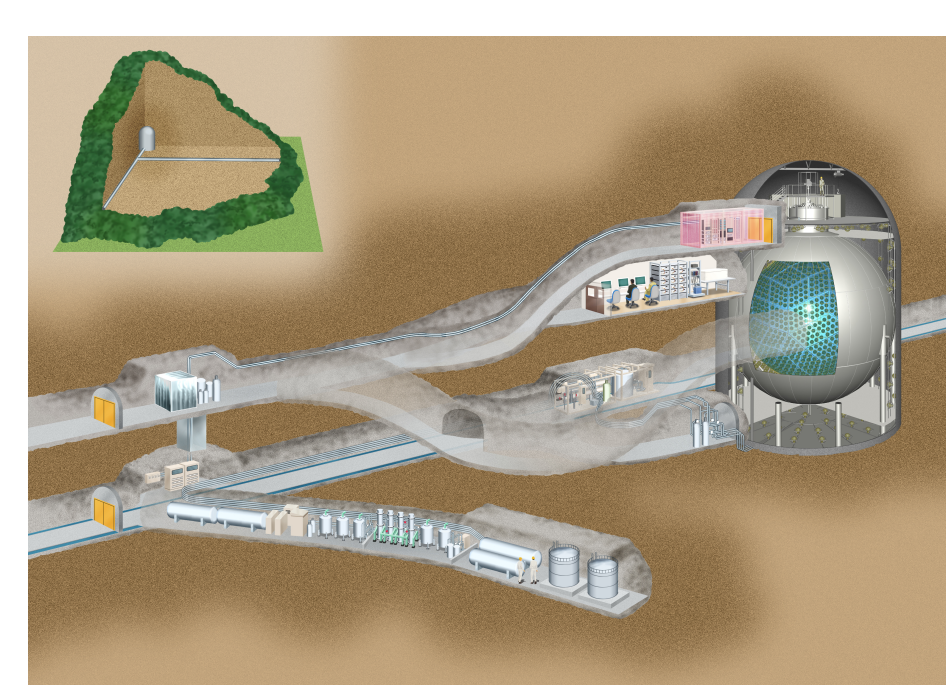


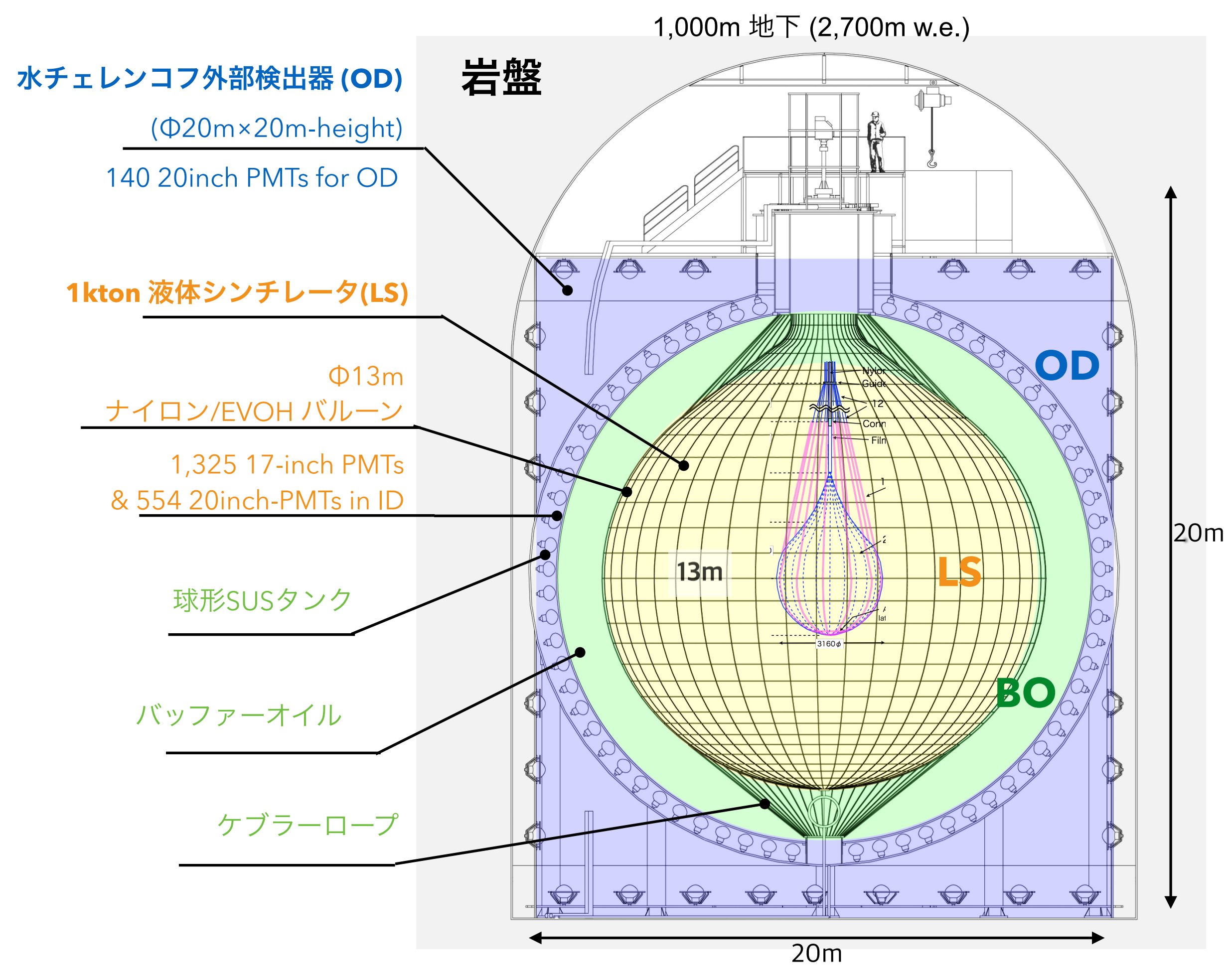
- ▶ KamLAND-Zen の期間だけ検出器中心部 にインナーバルーンを導入
- ▶ 背景事象混入低減のため,この領域は解 析から排除

LS=Liquid-Scintillator, BO=Buffer-Oil, OD=OuterDetector, ID=InnerDetector(LS+BO)

## Kamland Detector Kamioka Liquid-scintillator Anti-Neutrino Detector







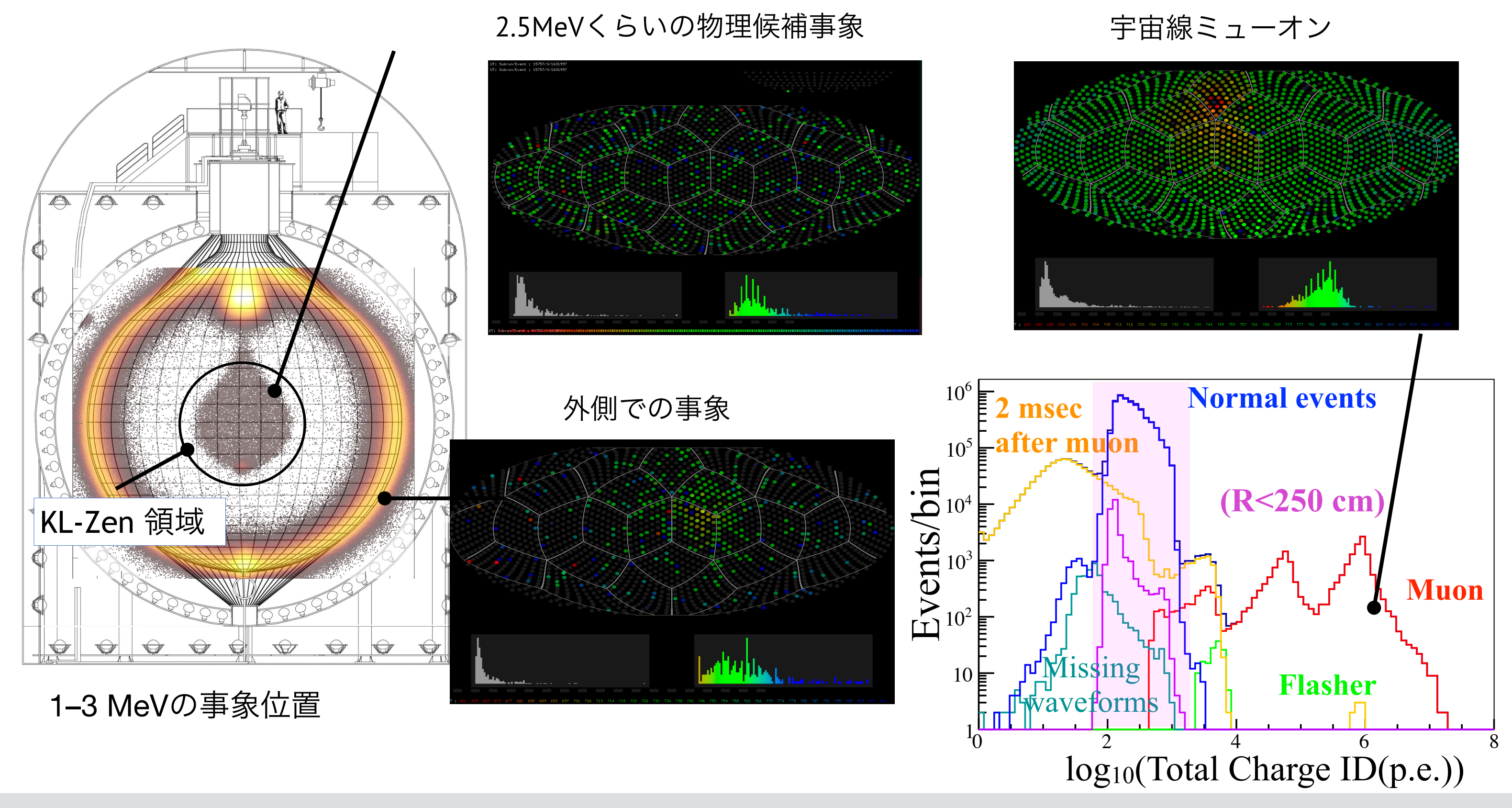
- ▶ 1 kt **液体シンチレータ** 検出器
- ▶ 神岡鉱山 池ノ山山頂より 1 km 地下
- ▶ シンチレーション光を約2000本の光電 子増倍管(PMT)で観測
- ▶ ヒット時間と電荷量から事象再構成

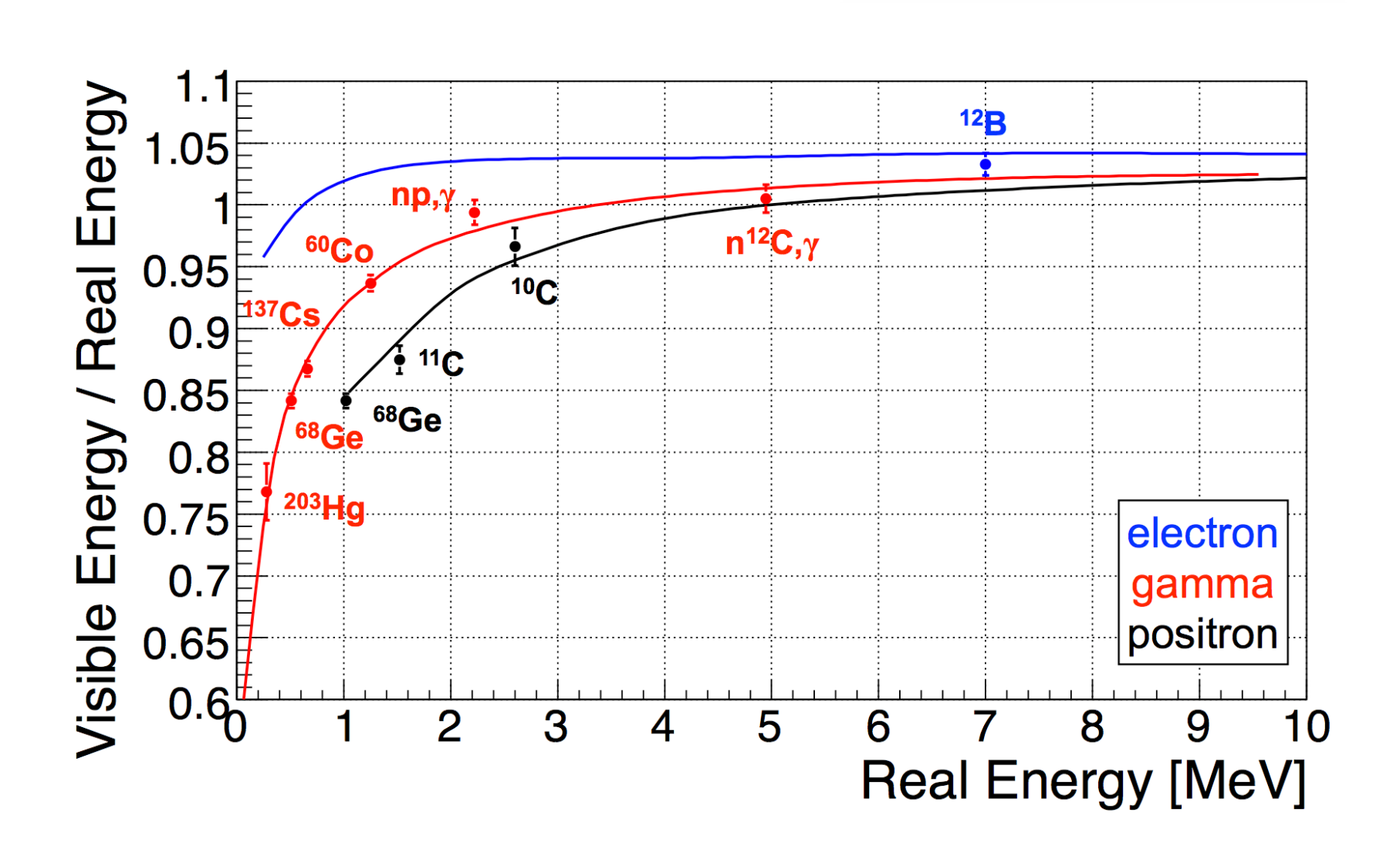
- ▶ KamLAND-Zen の期間だけ検出器中心部 にインナーバルーンを導入
- ▶ 背景事象混入低減のため,この領域は解 析から排除

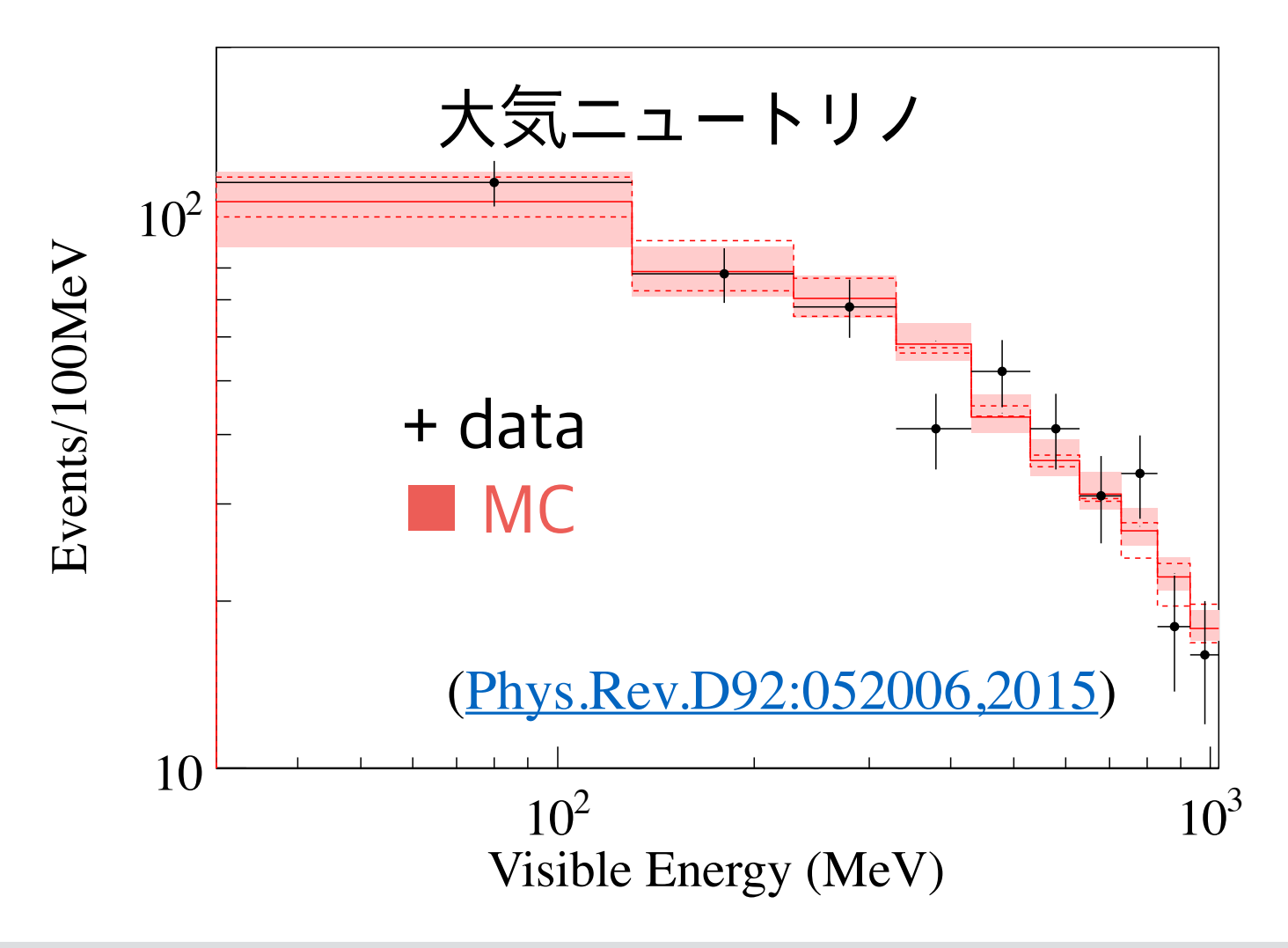
LS=Liquid-Scintillator, BO=Buffer-Oil, OD=OuterDetector, ID=InnerDetector(LS+BO)

### シンチレーション光と事象再構成

- ☑ エネルギーと事象位置は ヒット時間と電荷量から再構成
- ☑ 様々な放射線源で検出器応答を較正済み
- ☑ 原子核破砕生成物や大気ニュートリノでも確認

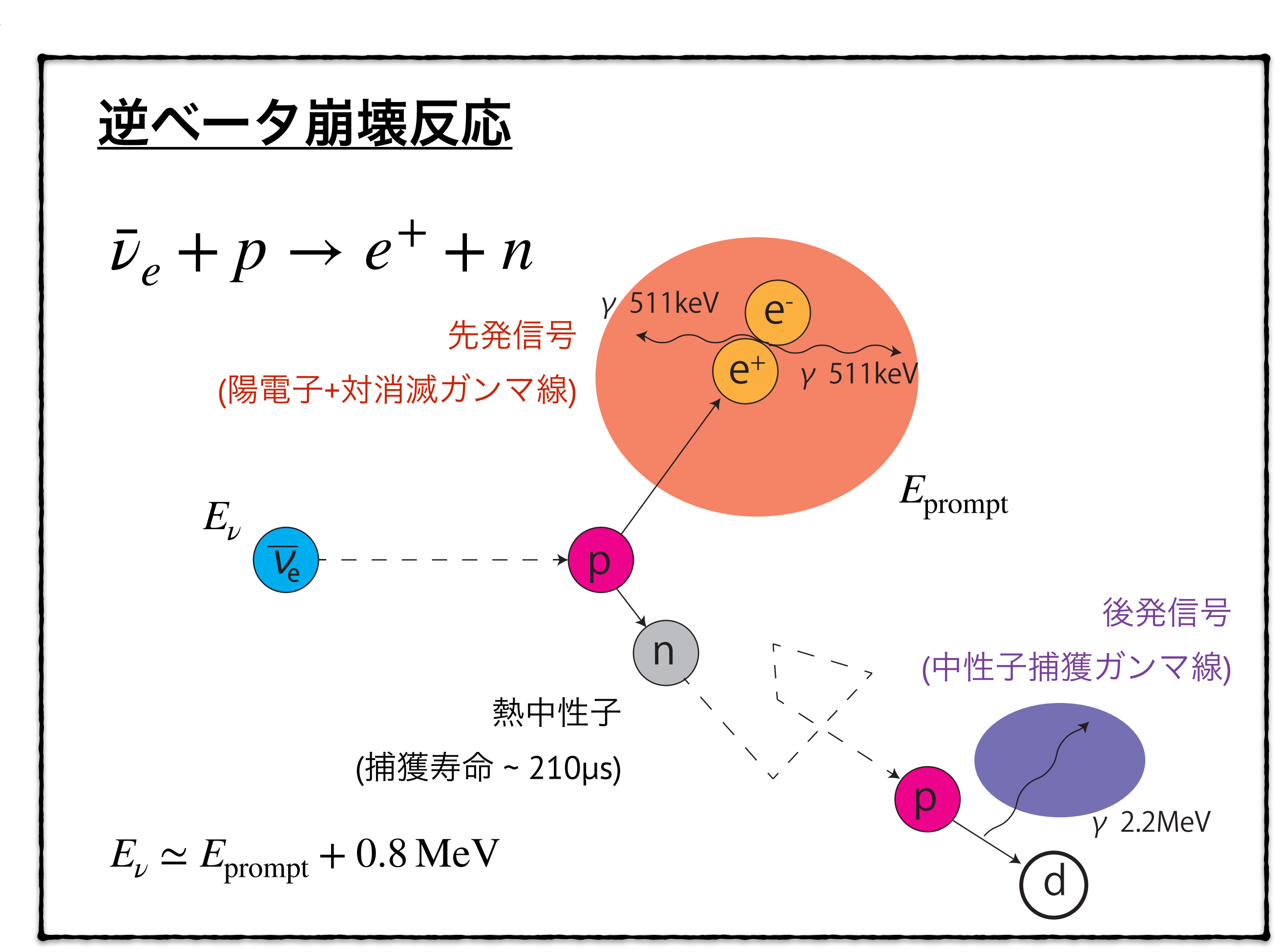






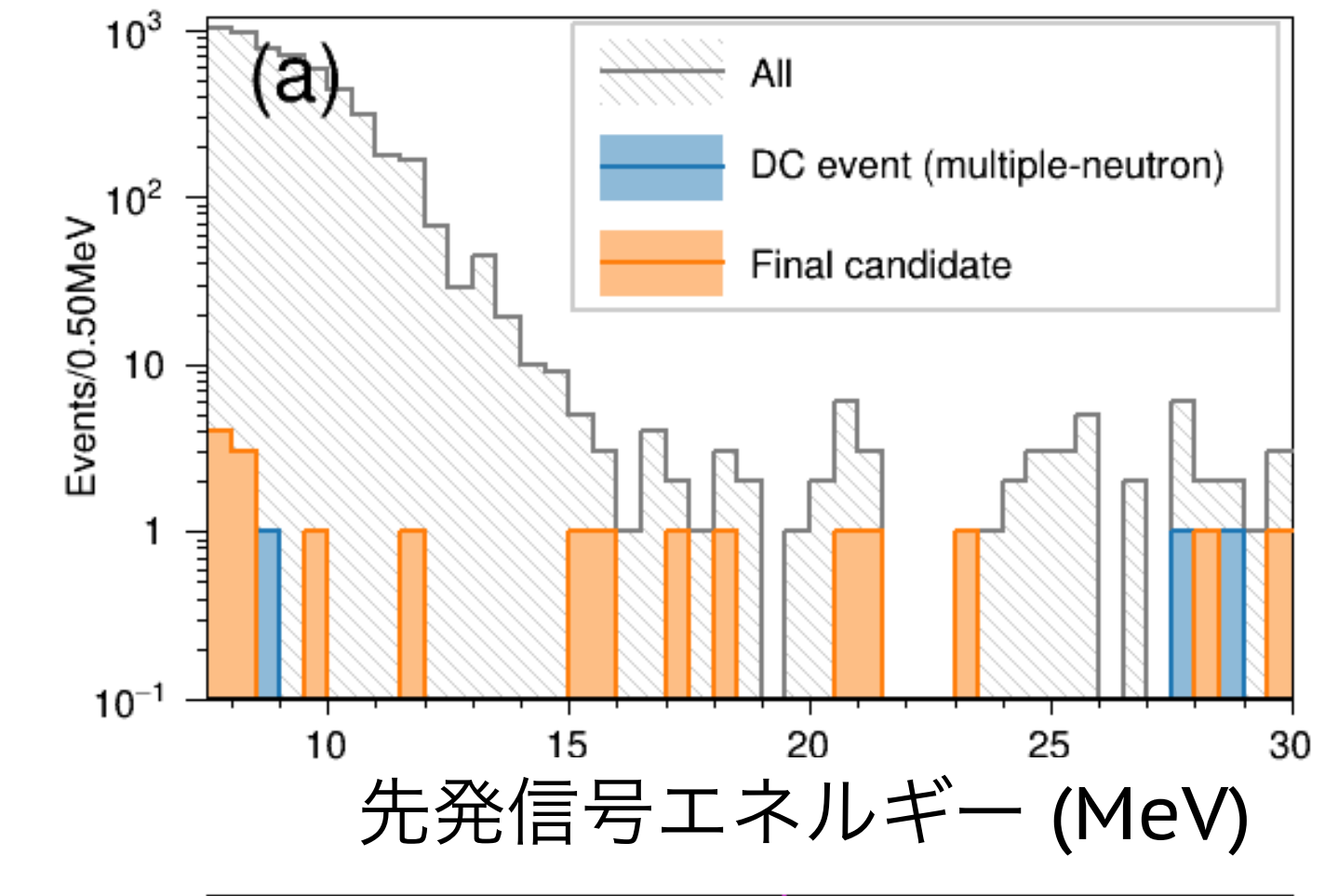
### 事象選定

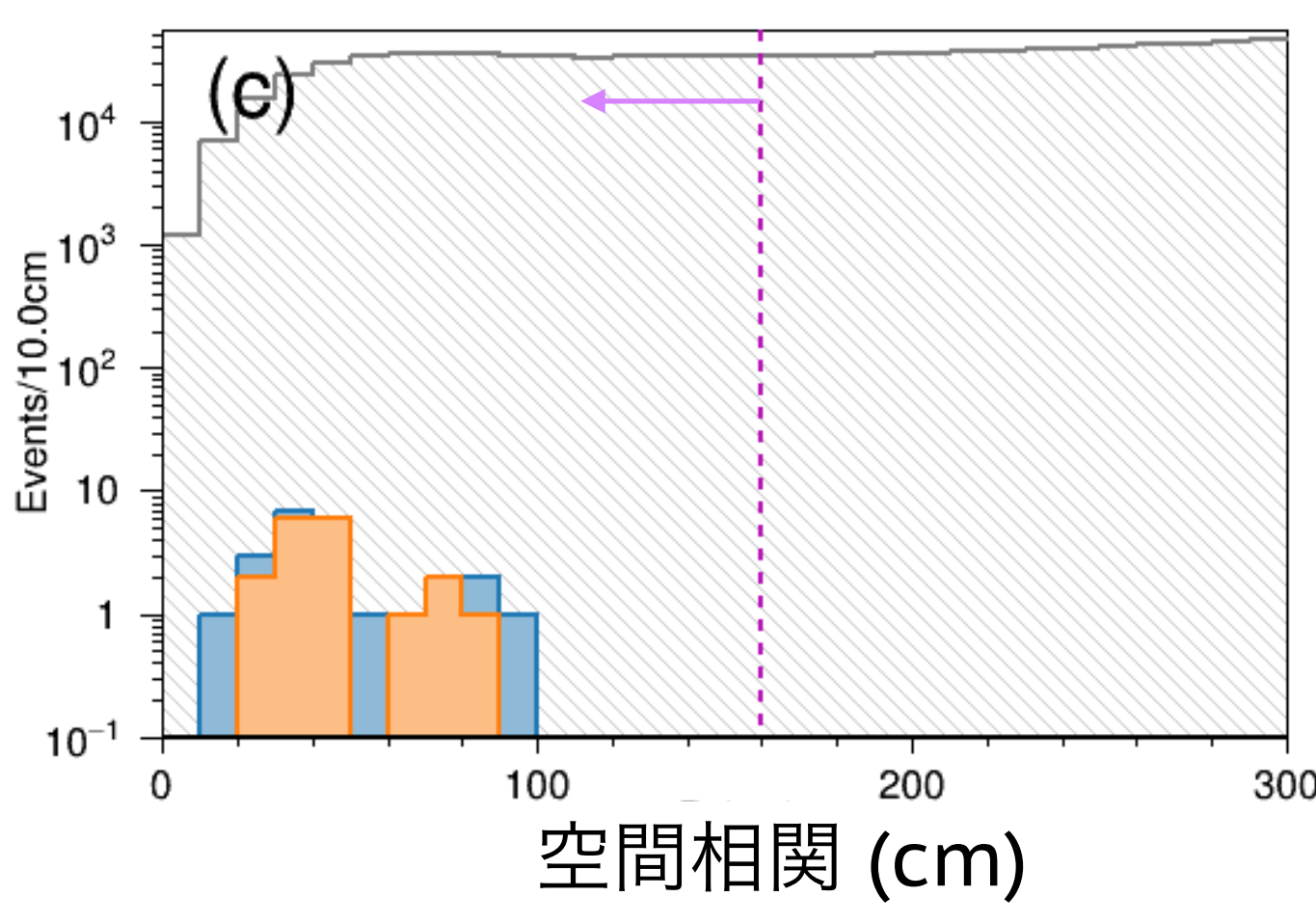
- 逆ベータ崩壊反応(IBD)を用いて**反電子ニュートリノ(\bar{\nu}\_e)**を探索
  - 再構成エネルギーE<sub>prompt</sub> = 7.5 30 MeVの範囲を選択
  - (ニュートリノエネルギーEv = 8.3 30.8 MeV)
  - KamLAND中心から半径5.5mの有効体積
- 遅延同時計測を用いる
  - 陽電子による先発信号(Prompt)
    - + 中性子捕獲ガンマ線による後発信号(Delayed)
- ●背景事象
  - 原子炉ニュートリノ
  - 偶発遅延同時計測事象
  - 原子核破砕生成物 (<sup>9</sup>Li)
  - ●高速中性子
  - 大気ニュートリノ

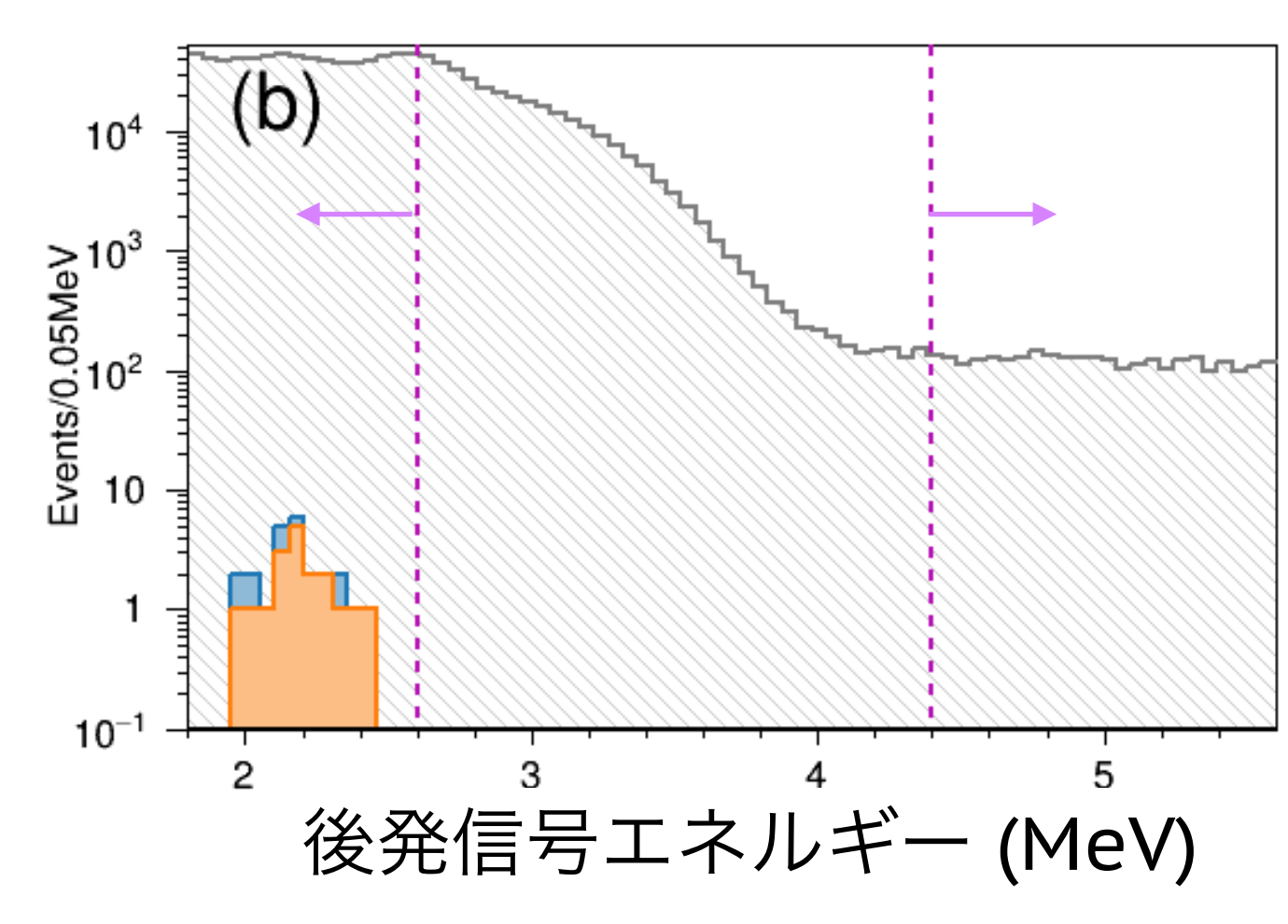


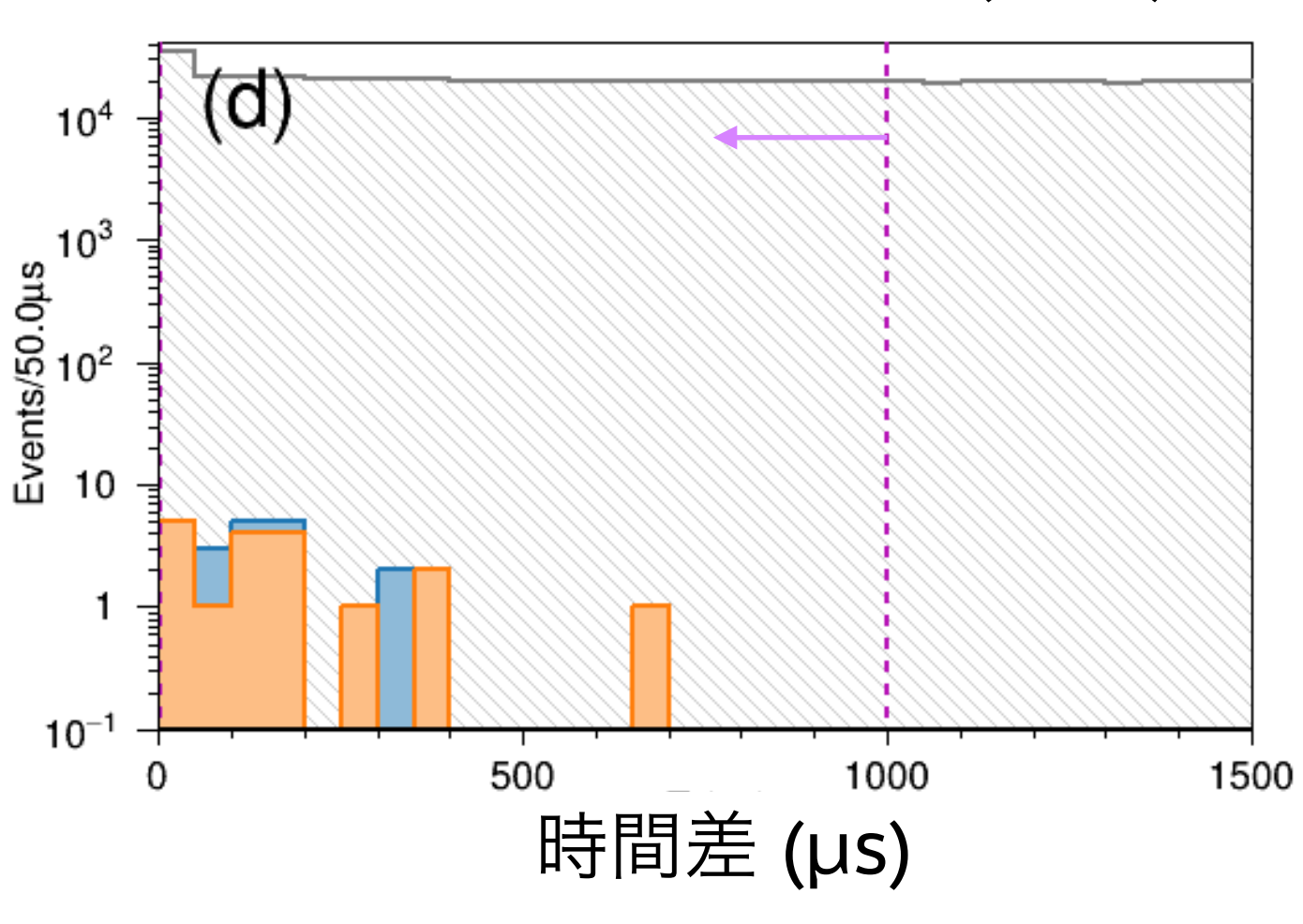
### 4528.5日分データからのニュートリノ事象候補

#### **Energy Spectra**

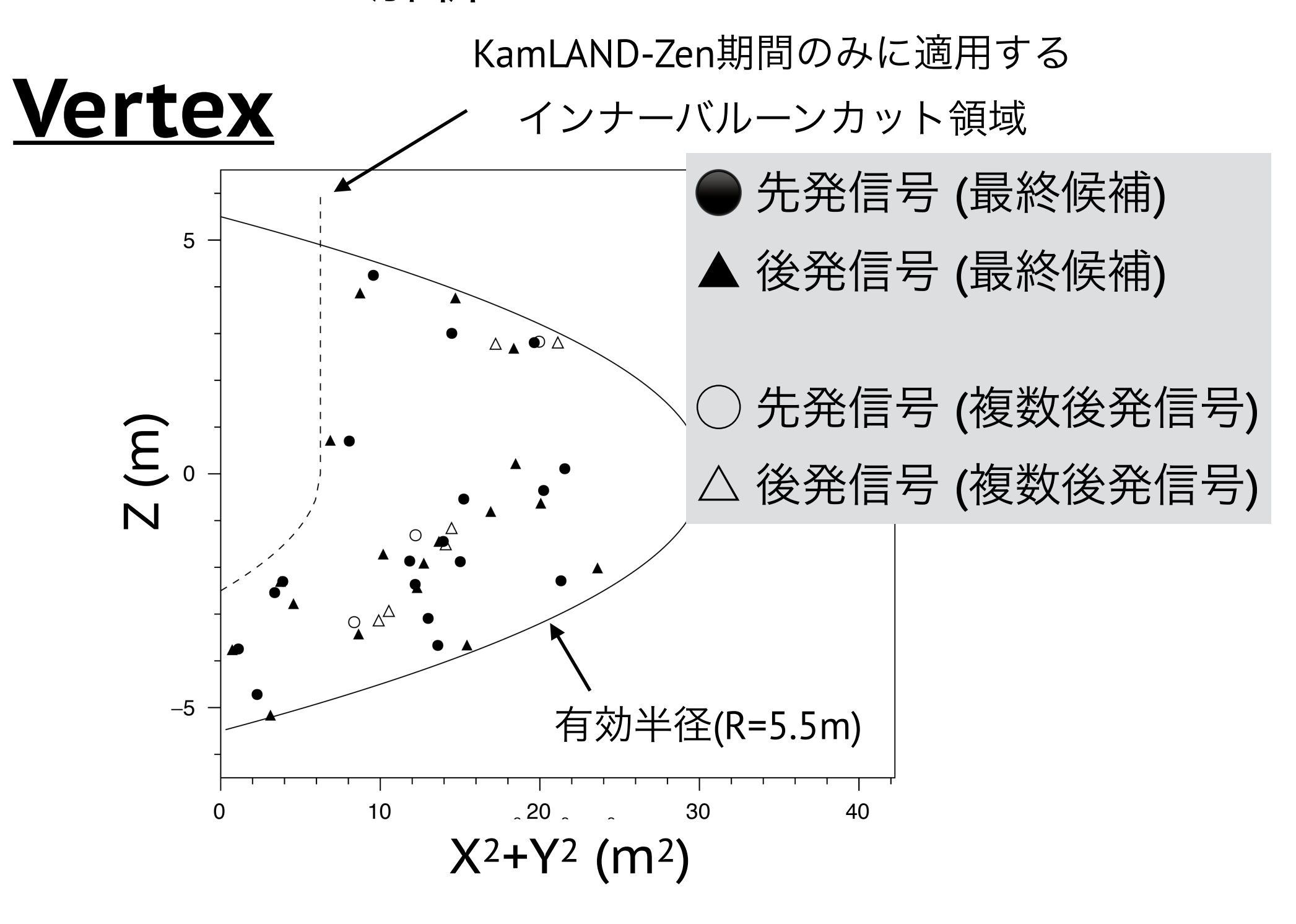






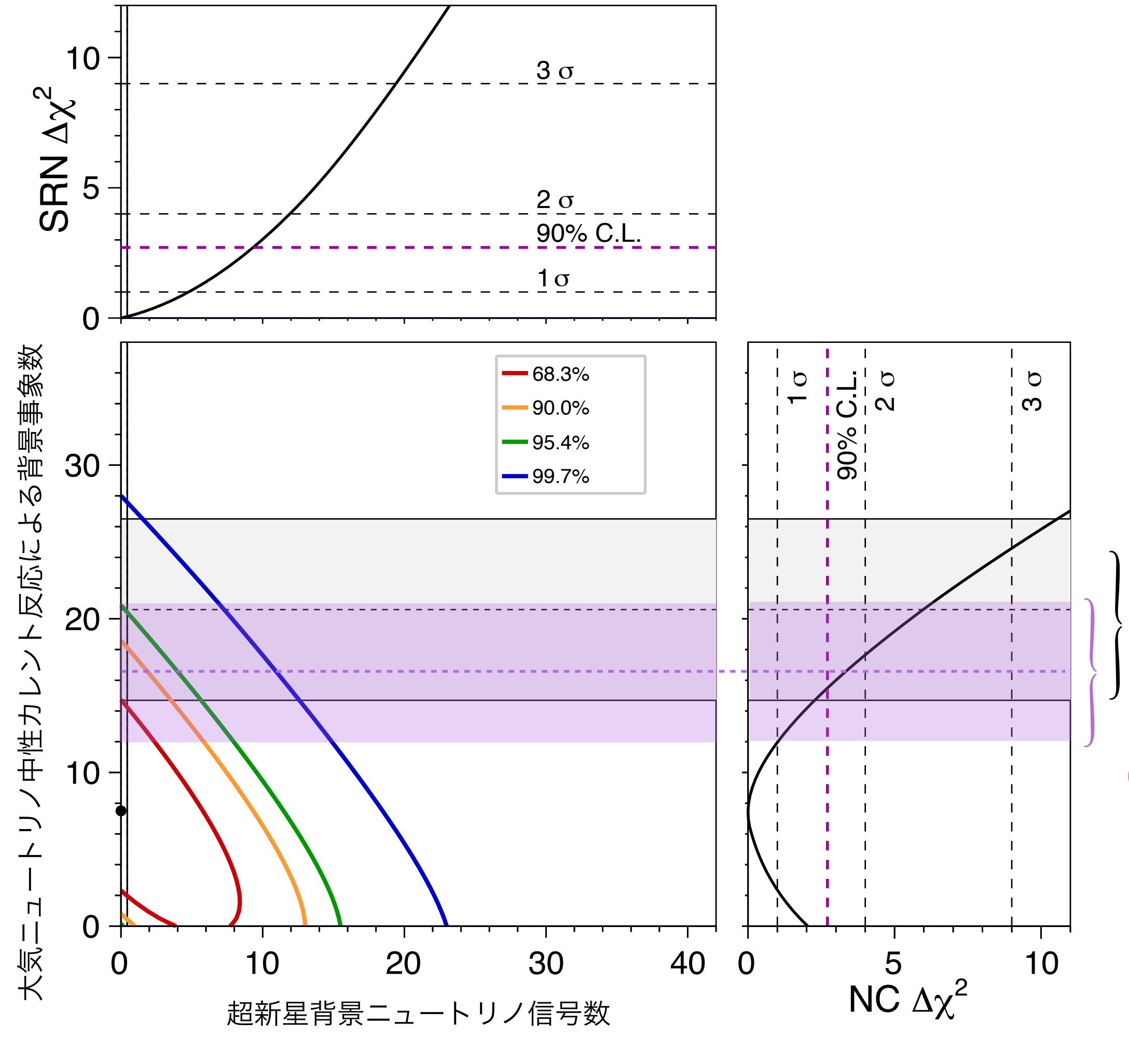


- 合計21個の遅延同時計測事象を観測
  - このうち3個が複数の後発事象
  - 最終的に18個を逆ベータ崩壊反応事象 として解析



\* 例えば高速中性子や大気ニュートリノなどが複数の後発信号をつくりうる

## フィット結果(1/3)



理論的計算に 基づく予測値 シミュレーション (NEUT)による予測

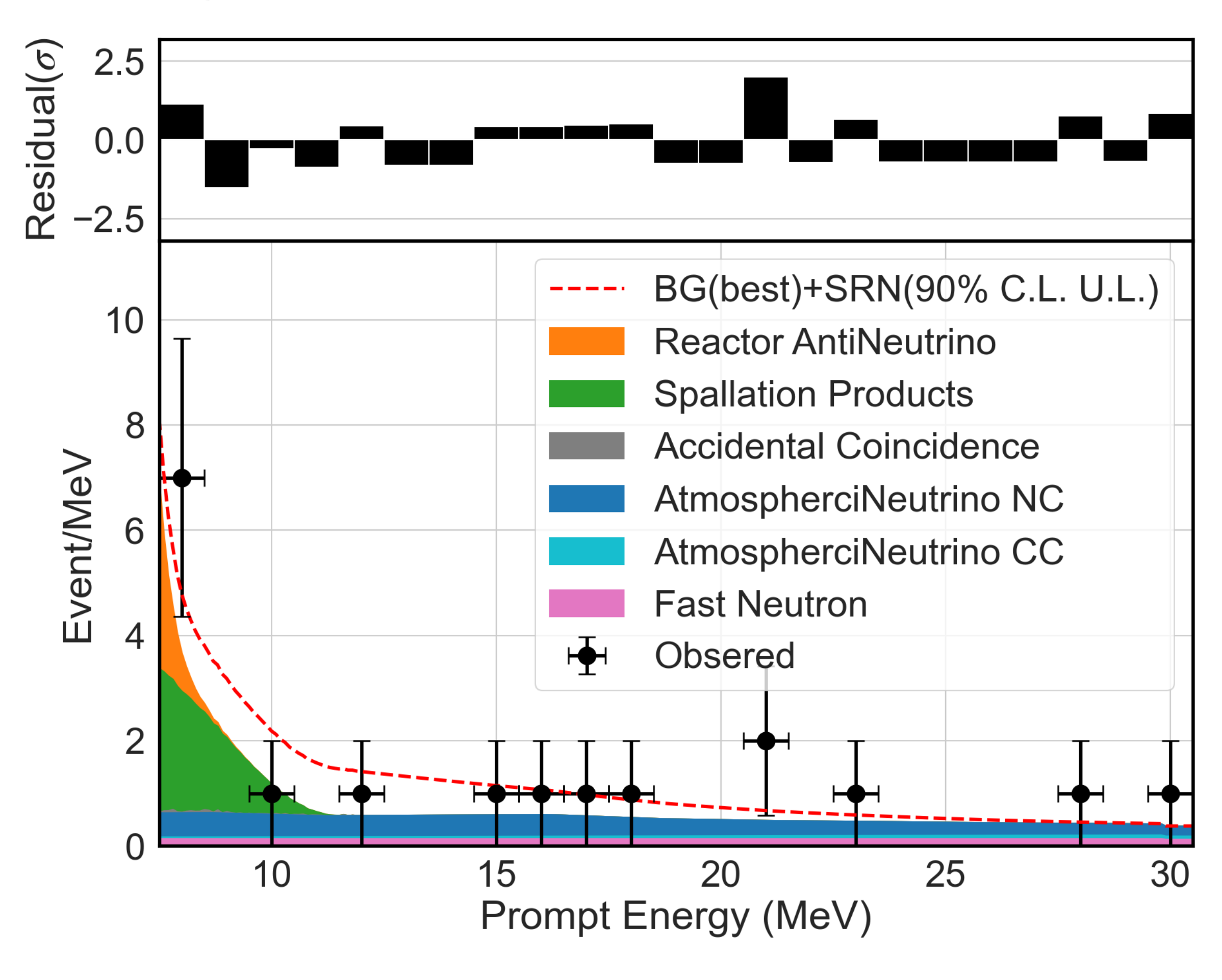
#### 期待事象数 vs. ベストフィット

	期待事象数	フィット結果	
原子炉ニュートリノ	1.4 ± 0.6	1.3	
偶発事象	$(7.3 \pm 1.0) \times 10^{-2}$	7.3 × 10 <sup>-2</sup>	
高速中性子	6.8 ± 6.8	3.3	
原子核破砕生成物	1.4 ± 3.6	4.5	
大気ニュートリノ 荷電カレント反応	1.1 ± 0.3	1.1	
大気ニュートリノ中性カレント反応	20.6 ± 5.9 (数値計算) 16.5 <sup>+5.1</sup> -4.5 (NEUT)	7.5	
超新星背景ニュートリノ (中里モデル)	0.44	0 (best fit) 9.3 (90% C.L. U.L.)	
合計	31.4 ± 9.7	17.8 (best) 27.0 (90% C.L. U.L.)	

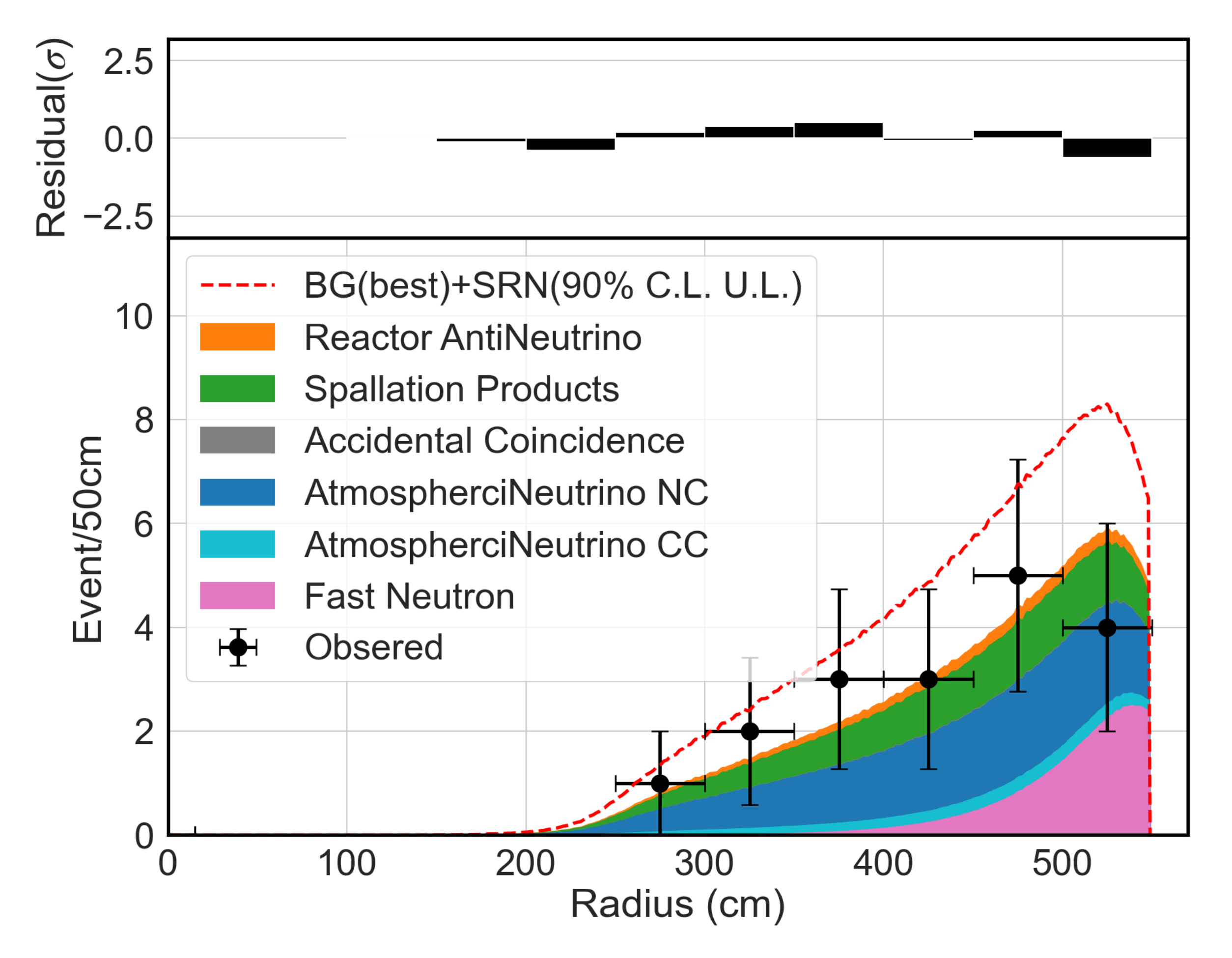
有意な信号超過は見つからなかった

# フィット結果 (2/3)

#### **Energy Spectrum**



#### **Radius Distribution**



### フィット結果(3/3)

# どのモデルにおいても超新星背景ニュートリノはゼロ

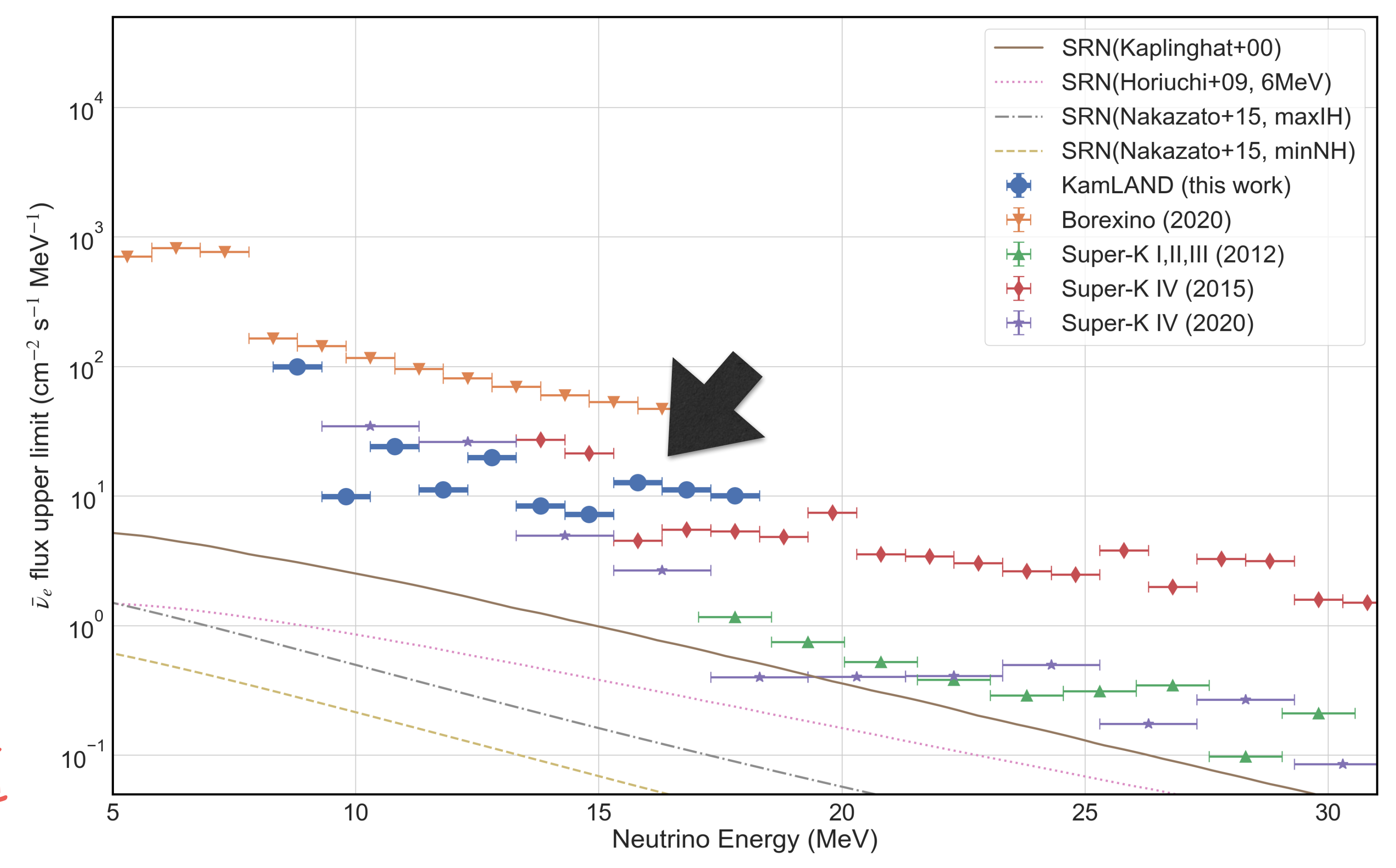
#### いくつかの超新星背景ニュートリノ予測モデルを使ってフィット

超新星背景ニュートリノの理論的予測	90%信頼度での上限値 (ベストフィット)		予測値
	事象数	フラックス (cm <sup>-2</sup> s <sup>-1</sup> )	フラックス (cm <sup>-2</sup> s <sup>-1</sup> )
Kaplinghat+00	9.4 (0)	74.5	19.9
Horiuchi+09 (6MeV effective temperature)	10.2 (0)	61.6	5.8
Nakazato+15 (max, inverted-mass ordering)	9.3 (0)	108	5.1
Nakazato+15 (min, normal-mass ordering)	8.9 (0)	105	2.2

### モデルによらないフラックス上限値

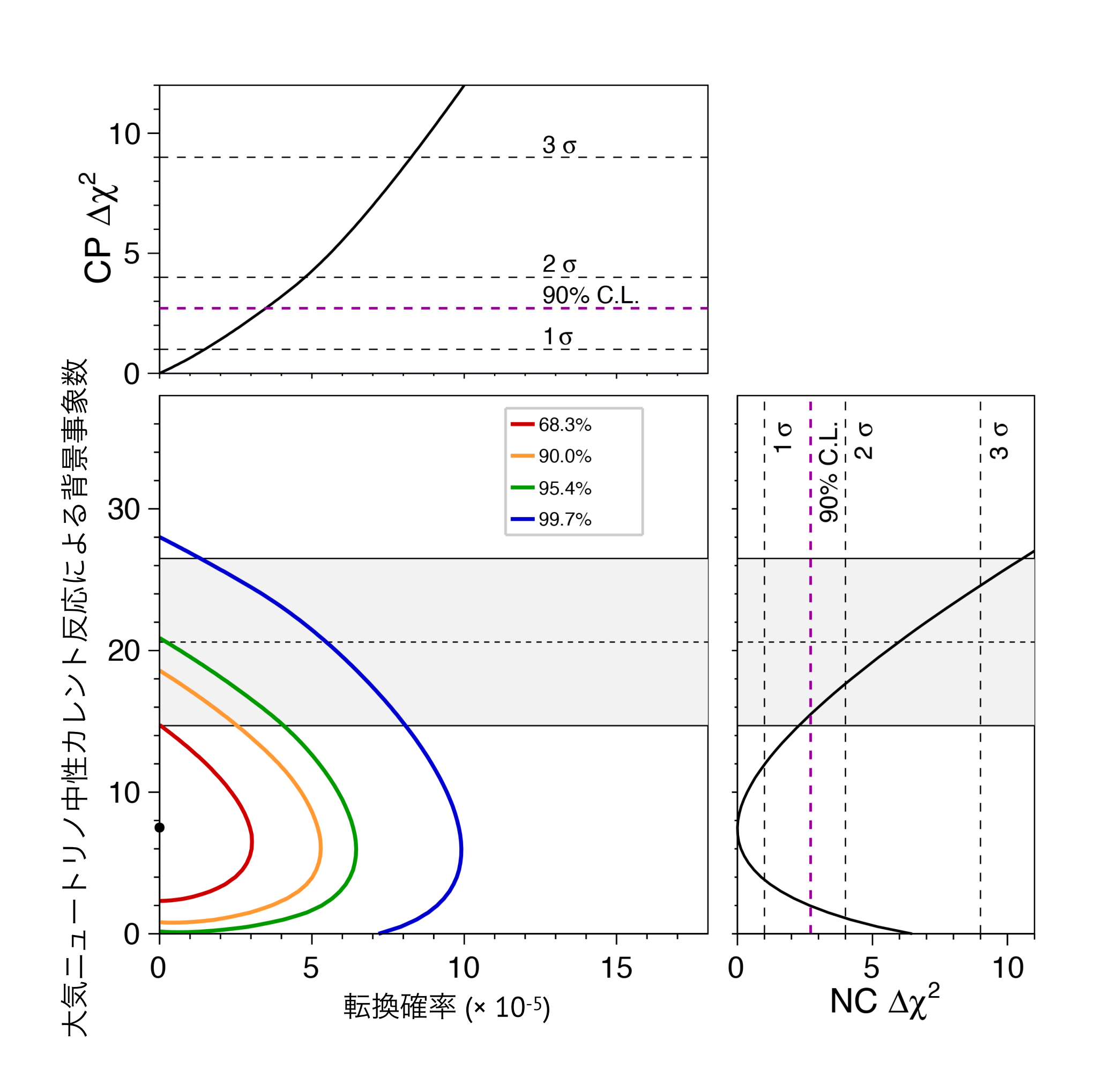
- 最新の Super-K IV (2021) の結果が一部の理論
   予測に触り始めている
- 今回のKamLANDの結果は13MeV以下で最も厳しい上限値を与えている
- この結果は他の宇宙由来のニュートリノ事象探索への制限として捉えることができる(例,原始ブラックホールからの輻射,不活性ニュートリノからの崩壊,暗黒物質対消滅など)

8-13 MeVで最も厳しい上限値 10<sup>-1</sup>



14 / 16

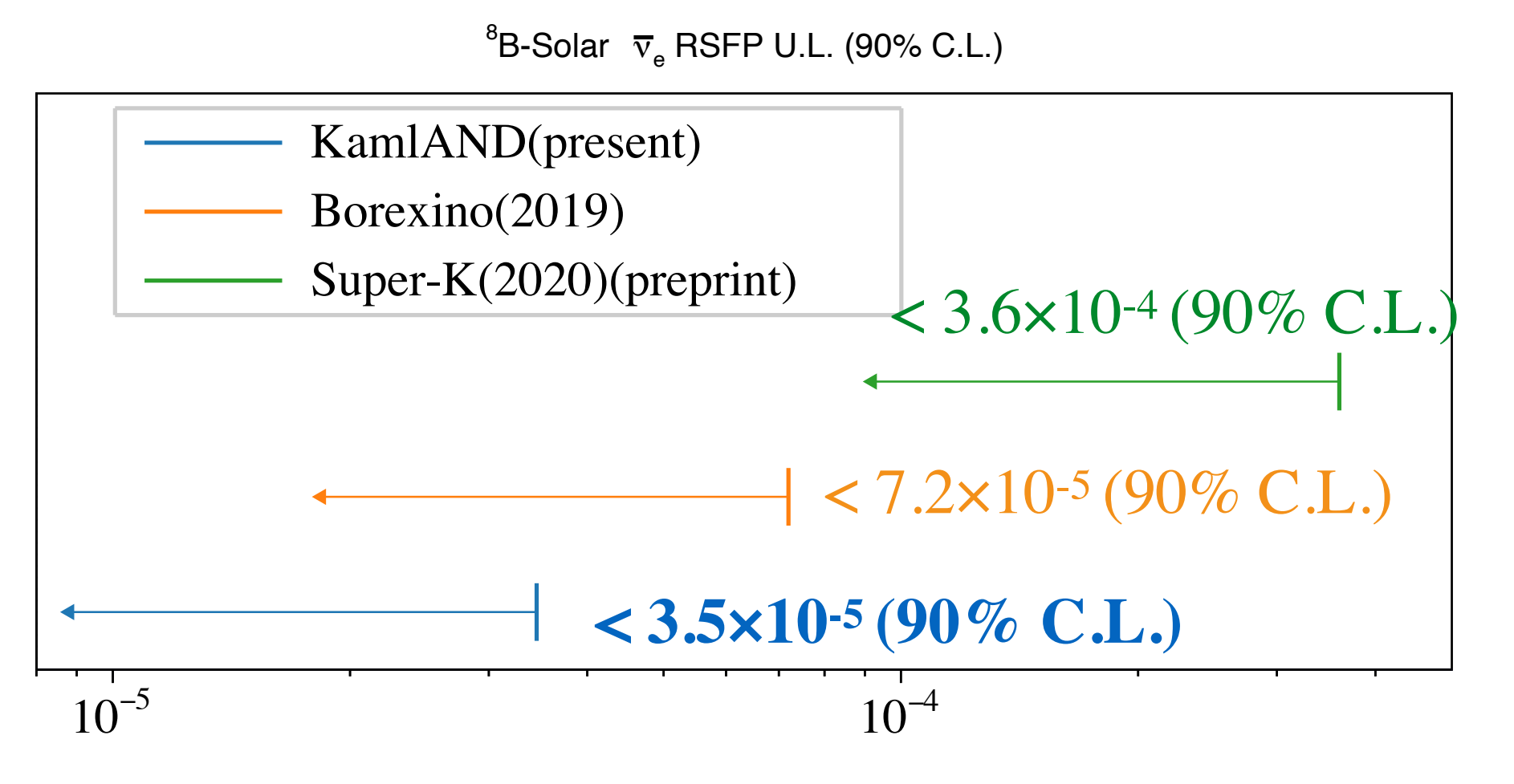
#### 太陽8Bニュートリノ転換確率への制限



- ullet MSW+RSFPによって太陽ニュートリノが転換( ${}^8$ B  $u_e 
  ightarrow ar{
  u}_e$ )する確率に制限を与えた
- 今回得られた結果(P<3.5×10⁻⁵) は最も厳しい上限値
- 太陽磁場を仮定して,ニュートリノ磁気能率へも制限が加わる

$$\mu < 4.9 \times 10^{-10} \mu_B \left( \frac{10 \,\mathrm{kG}}{B_T (0.05 R_\odot)} \right),$$

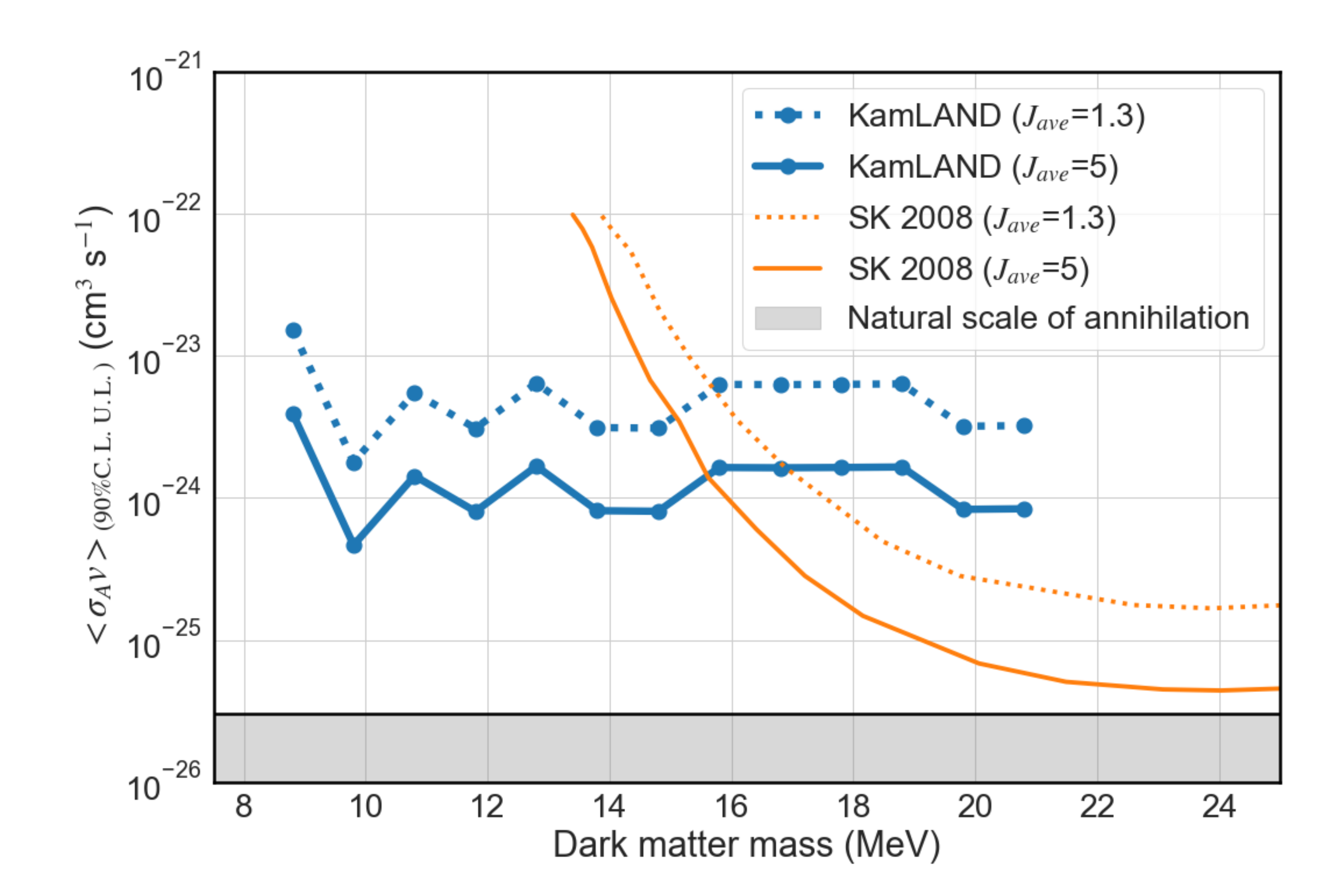
しかしこれは Borexino による太陽ニュートリノ測定から得られる上限値よりもまだ弱い  $(0.28 \times 10^{-10} \mu_B)$ 



太陽ニュートリノ転換確率上限値

### 軽い暗黒物質対消滅への制限

- 軽い暗黒物質同士が対消滅してニュートリノペアになるモードについて制限が加わる $(\chi + \chi \rightarrow \nu + \bar{\nu})$
- $\frac{d\phi}{dE_{\nu}} = \frac{\langle \sigma_{A} \mathbf{v} \rangle}{2} J_{\text{ave}} \frac{R_{\text{sc}} \rho_{0}^{2}}{m_{\chi}^{2}} \frac{1}{3} \delta \left( E_{\nu} m_{\chi} \right)$
- 15MeV以下で制限を与えた



#### まとめ

- 大型液体シンチレータ検出器カムランドで得られた4528日分のデータから,8-30MeV領域の宇宙由来の反電子ニュートリノ事象探索を行った
- 背景事象と比較して有意な信号超過は見受けられなかったため90%信頼度で下記の上限値を与えた
  - モデルによらない反電子ニュートリノのフラックス上限値; 8−13 MeV領域で最も厳しい上限値
  - いくつかの超新星背景ニュートリノモデルを仮定した場合の各モデルへのフラックス上限値;  $60-100\,\mathrm{cm}^{-2}\mathrm{s}^{-1}$
  - 太陽反電子ニュートリノへの転換確率への最も厳しい上限値; P<3.5×10⁻⁵</li>
  - (暗黒物質対消滅からのニュートリノ対生成の反応断面積)
- これらの結果についてまとめたものは論文に投稿済み (Accepted for publication in ApJ @2021年10月)
  - プレプリントがarXivにあがっています arXiv:2018.08527